# Aéraulique des fumées d'incendie

Olivier Vauquelin (IUSTI, Aix-Marseille Université)









#### Sommaire

#### Approches stationnaires

- Modèle type « réacteur mélangé »
- Modèle bi-couche

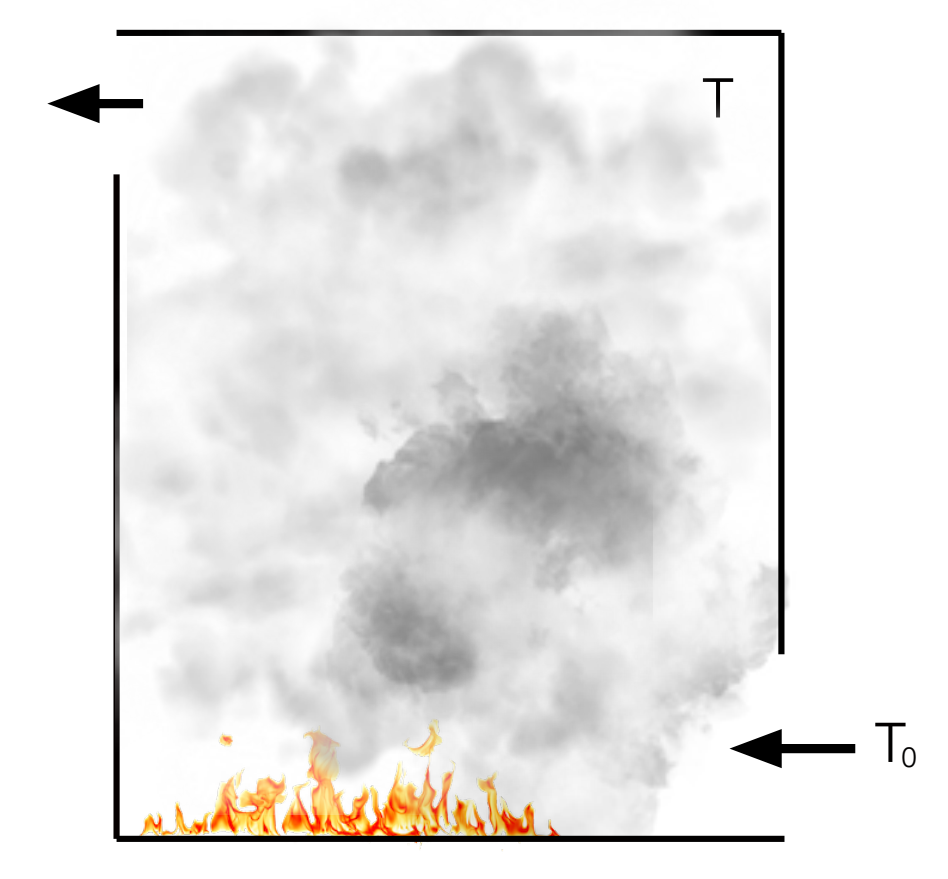
#### Approches transitoires

- Remplissage d'un local
- Enfumage et désenfumage simultanés d'un local

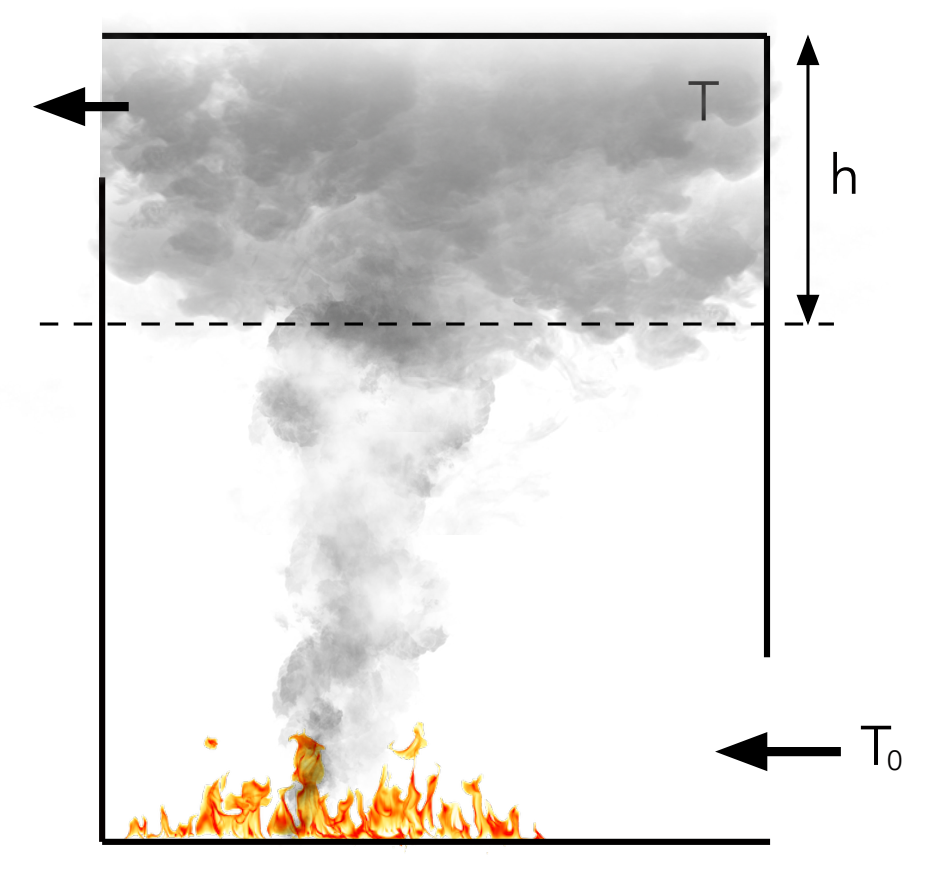
#### Règles de similitudes







Modèle de "réacteur bien mélangé" température uniforme T dans le local



**Modèle "bi-couche"** température uniforme T dans une couche de fumées d'épaisseur h





#### Notations et hypothèses

 $\dot{Q}_t$ : puissance totale (du feu)

 $\dot{Q}_c$ : puissance convective (du feu)

m: débit massique (des fumées)

 $q_v$ : débit volumique (des fumées)

 $T_0: ext{temp\'erature du milieu ambiant } (20^\circ ext{C})$ 

 $ho_0: {
m masse} \ {
m volumique} \ {
m du \ milieu} \ {
m ambiant} \ (1, 2 \ {
m kg/m}^3)$ 

- ¬ Le feu est bien ventilé
- ¬ Les écoulements sont incompressibles mais dilatables
- ¬ L'air et les fumées se comportent comme un gaz parfait
- ¬ Les fumées sont assimilées à de l'air chaud
- ¬ On se place hors cadre Boussinesq

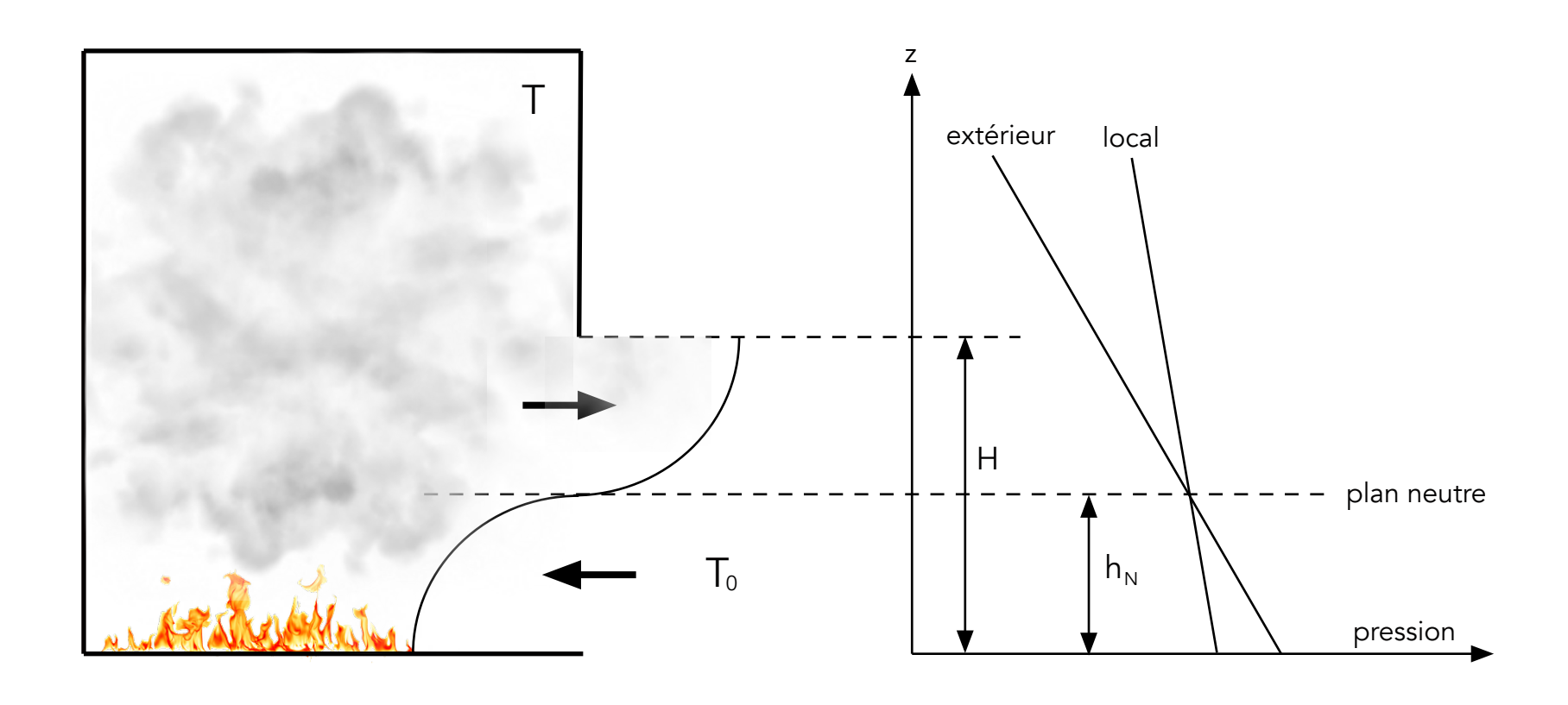




## Modèle type « réacteur bien mélangé »

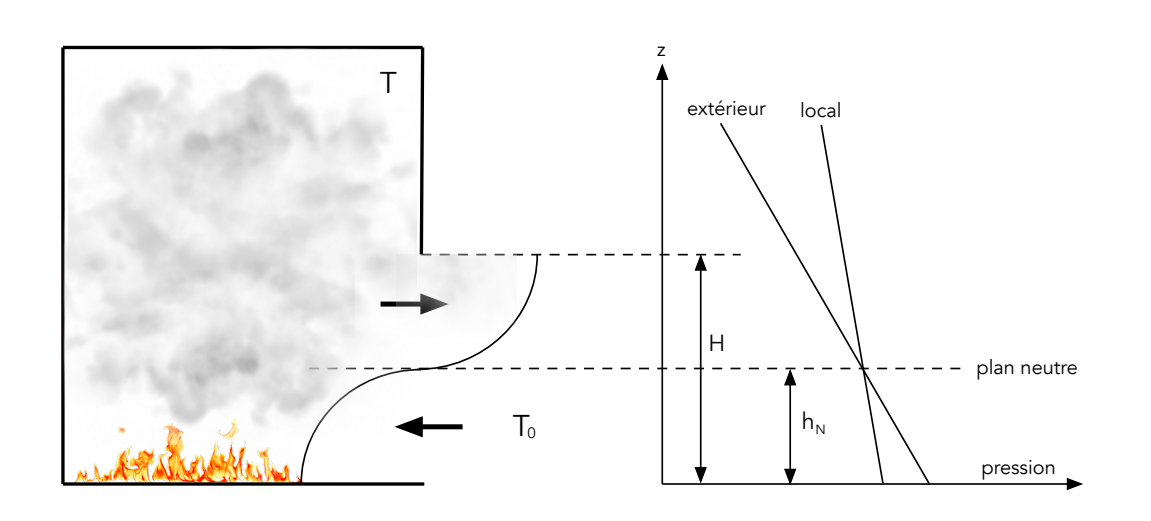












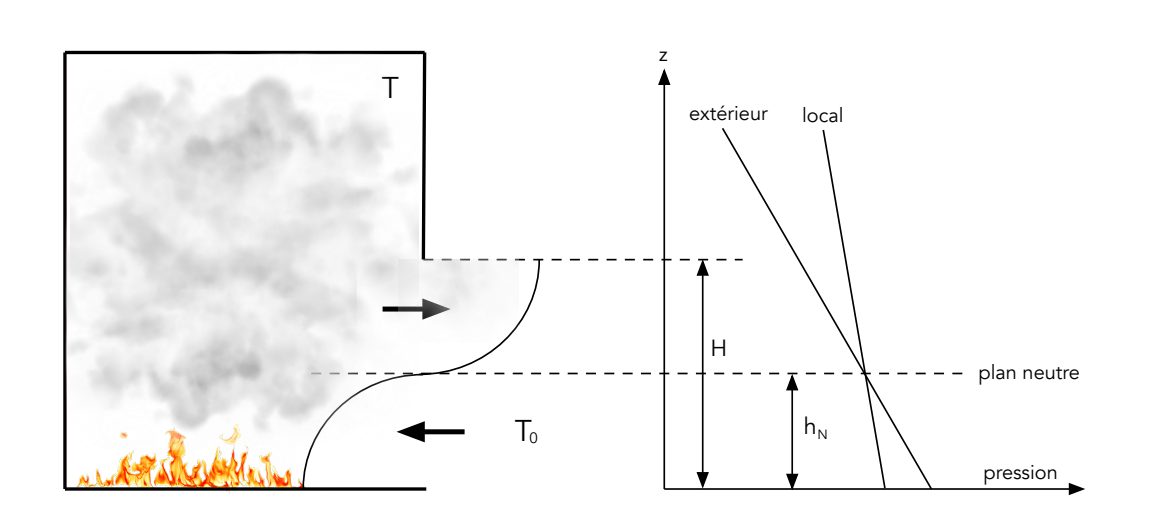
Conservation du débit massique :  $m_{ext} = m_{int}$ 

$$m_{ext} = 
ho \, W \, \int_{h_N}^H u_{ext}(z) \, dz \qquad ext{avec}: \, rac{1}{2} \, 
ho \left[rac{u_{ext}(z)}{C_D}
ight]^2 = \Delta 
ho \, g \, (z-h_N)$$

$$m_{int} = 
ho_0 \, W \, \int_0^{h_N} u_{int}(z) \, dz \quad ext{ avec}: \, rac{1}{2} \, 
ho_0 \left[rac{u_{int}(z)}{C_D}
ight]^2 = \Delta 
ho \, g \, (h_N - z)$$







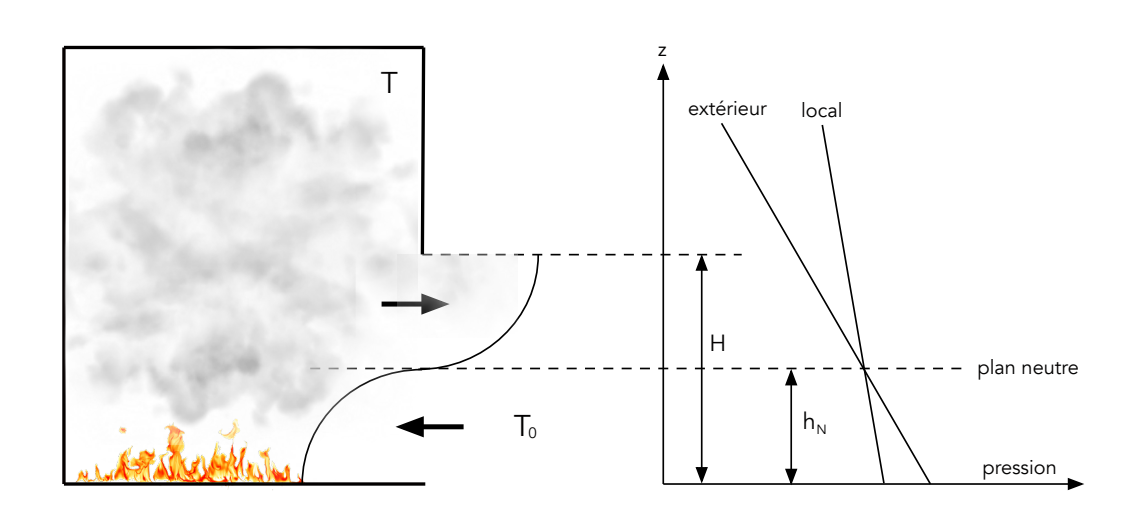
$$ext{Hyp. gaz parfait}: 
ho_0\,T_0 = 
ho\,T \ \Rightarrow rac{\Delta
ho}{
ho} = rac{\Delta T}{T_0} ext{ ou } rac{\Delta
ho}{
ho_0} = rac{\Delta T}{T}$$

Conservation du débit massique :  $m_{ext} = m_{int}$ 

$$\Rightarrow \quad rac{2}{3} \, 
ho^{1/2} \, \Delta 
ho^{1/2} \, g^{1/2} \, W \, (H - h_N)^{3/2} = rac{2}{3} \, 
ho_0^{1/2} \, \Delta 
ho^{1/2} \, g^{1/2} \, W \, h_N^{3/2}$$

$$\Rightarrow \quad h_N = rac{H}{1 + (
ho_0/
ho)^{1/3}} = rac{H}{1 + (T/T_0)^{1/3}}$$





Conservation du débit massique :  $m_{ext} = m_{int}$ 

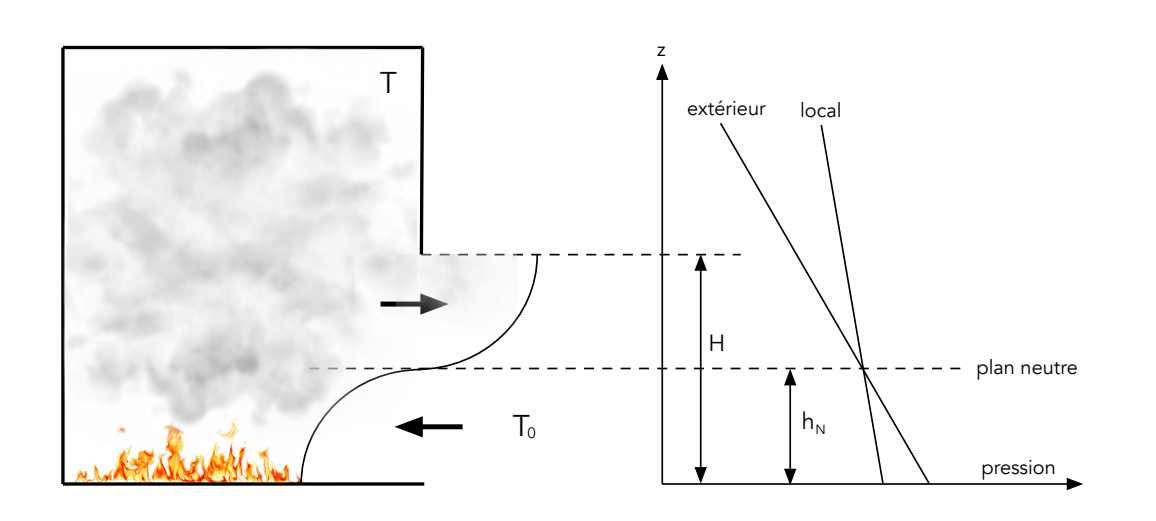
$$\epsilonpprox 0,5$$

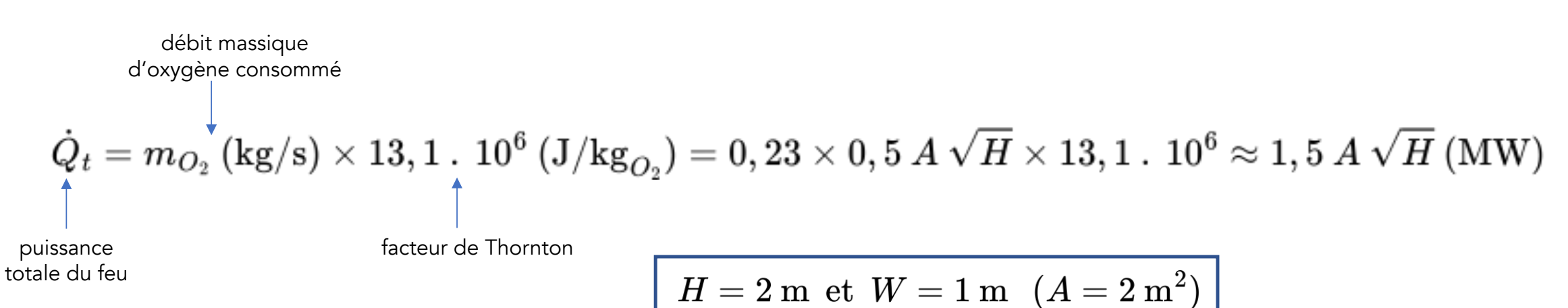
$$m=m_{ext}=m_{int}= oxed{rac{2}{3} \ g^{1/2} \ rac{[
ho_0 \ (
ho_0-
ho)]^{1/2}}{[1+(
ho_0/
ho)^{1/3}]^{3/2}}} W \, H^{3/2}$$

$$\Rightarrow m \approx 0,5 \, A \, H^{1/2} \quad ext{(formule de Kawagoe)}$$





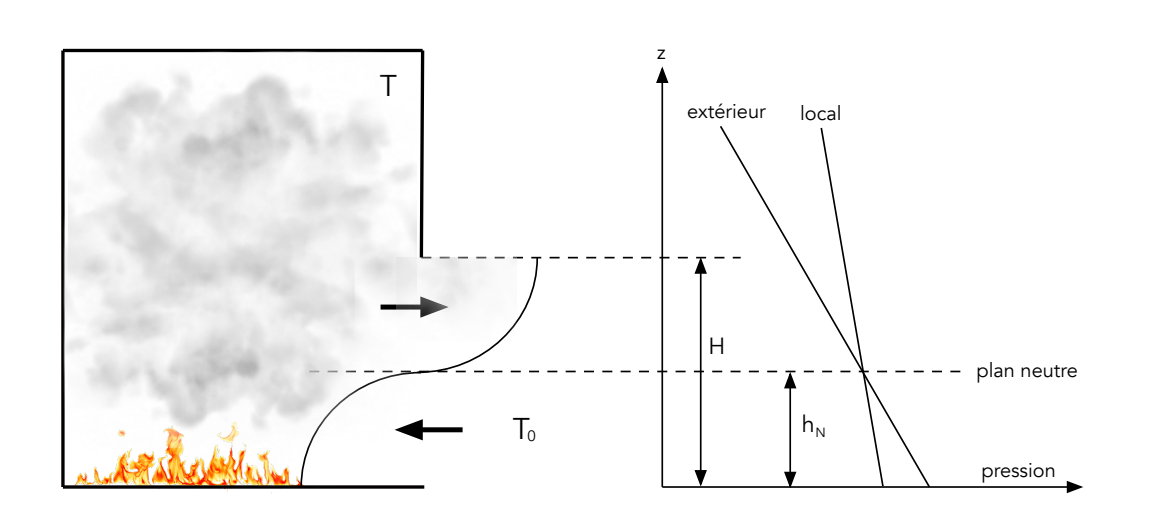




 $\dot{Q}_t pprox 4 \, \mathrm{MW}$ 





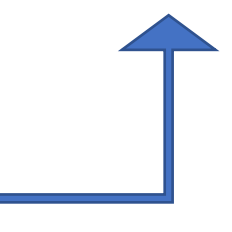


$$\dot{Q}_t=0,23~m_{int} imes13,1~.~10^6$$

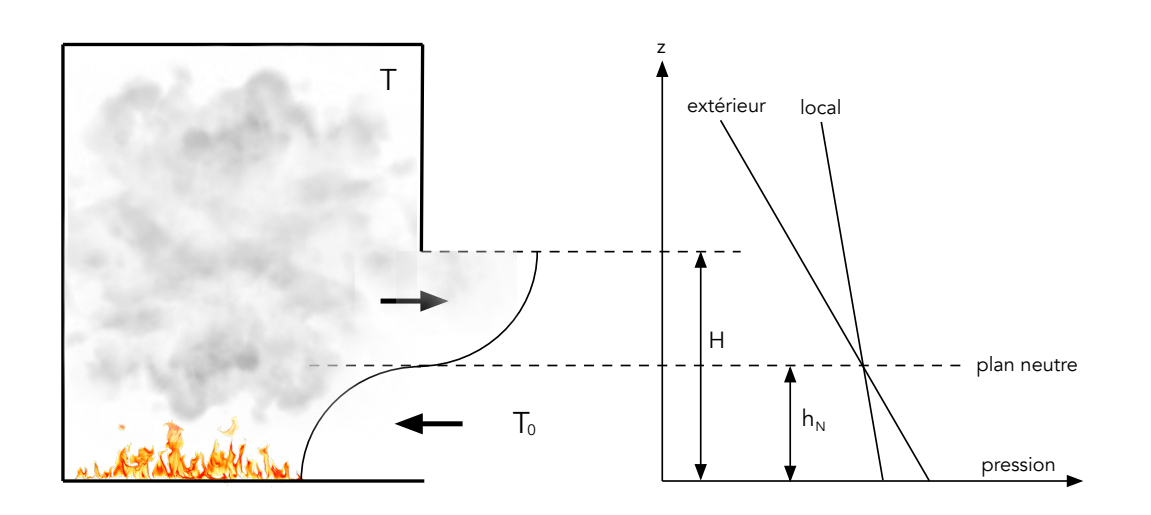
$$\dot{Q}_c = m_{ext} \, C_p(T) \, \Delta T pprox 0,7 \, \dot{Q}_t$$

$$\dot{Q}_c = \cancel{m_{ext}} \ C_p(T) \ \Delta T pprox 0, 7 imes 0, 23 imes 13, 1 \ . \ 10^6 imes \cancel{m_{int}}$$

$$C_p(T) \left[ T - T_0 
ight] pprox 2 \ . \ 10^6 \ 
ight. 
onumber \ T pprox 1900 \ K$$





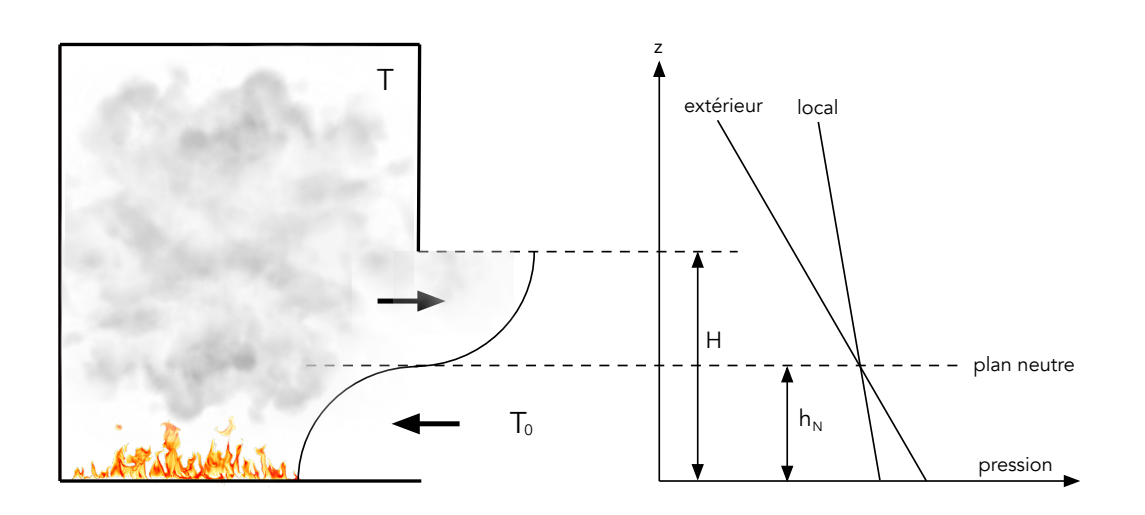


Si on fixe la valeur de la puissance convective du feu, quelle sera la température moyenne dans le local ?

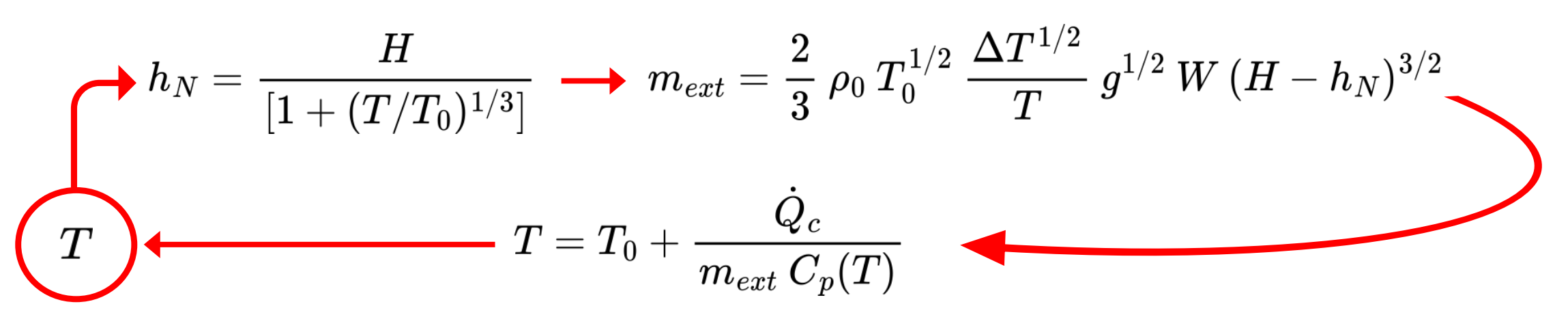
$$h_N = rac{H}{[1+(T/T_0)^{1/3}]} \hspace{1cm} m_{ext} = rac{2}{3} \, 
ho_0 \, T_0^{1/2} \, rac{\Delta T^{1/2}}{T} \, g^{1/2} \, W \, (H-h_N)^{3/2}$$

$$T = T_0 + rac{\dot{Q}_c}{m_{ext}\,C_c(T)} \hspace{1cm} rac{ ext{3 inconnues}:}{h_N\,;\,m_{ext}\,;\,T}$$

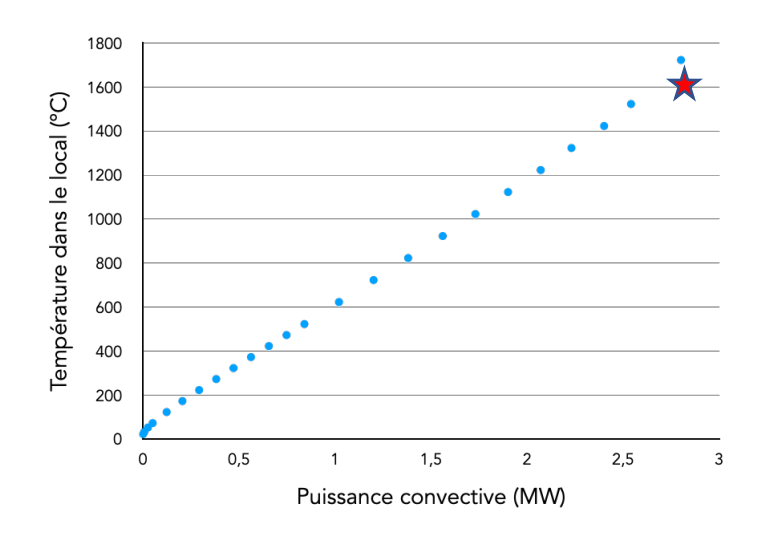


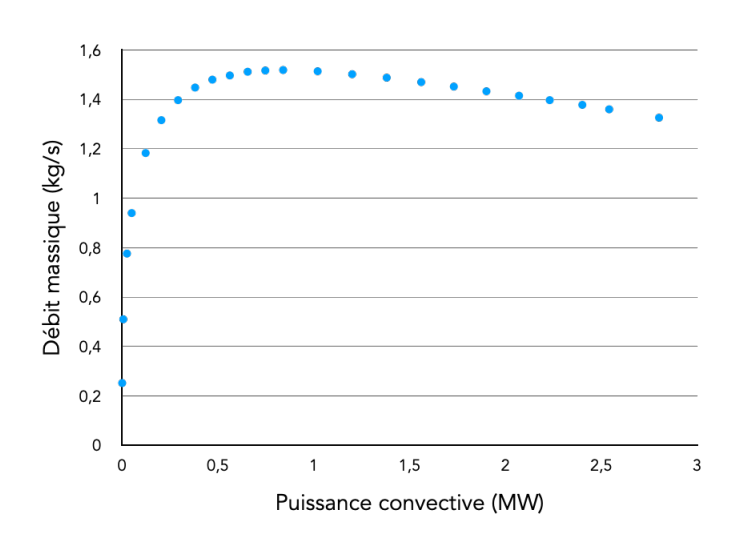


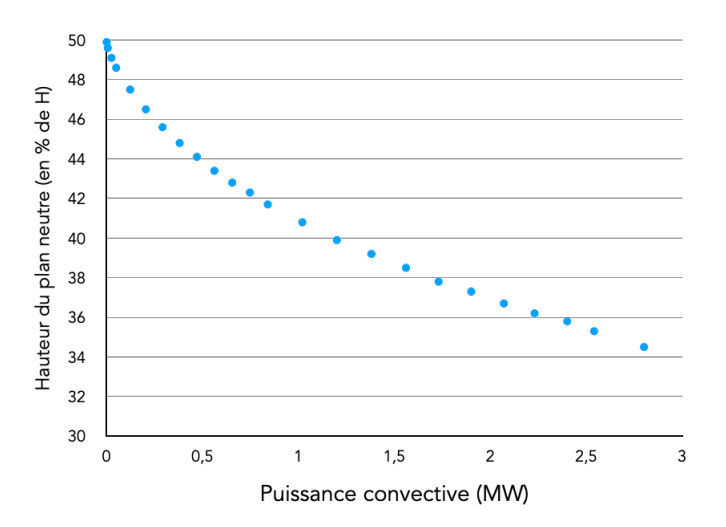
Si on fixe la valeur de la puissance convective du feu, quelle sera la température moyenne dans le local ?

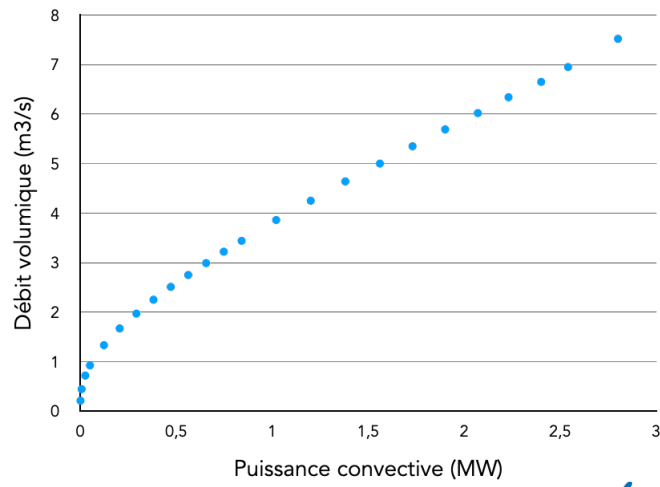






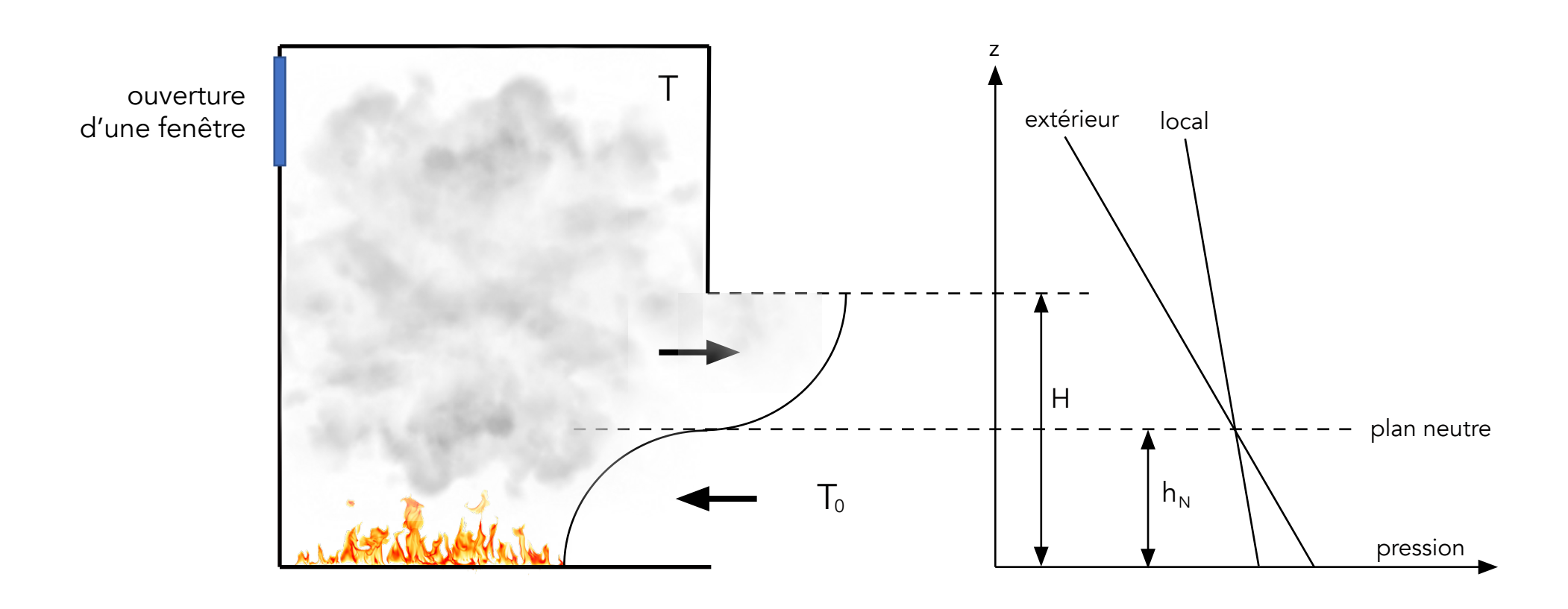






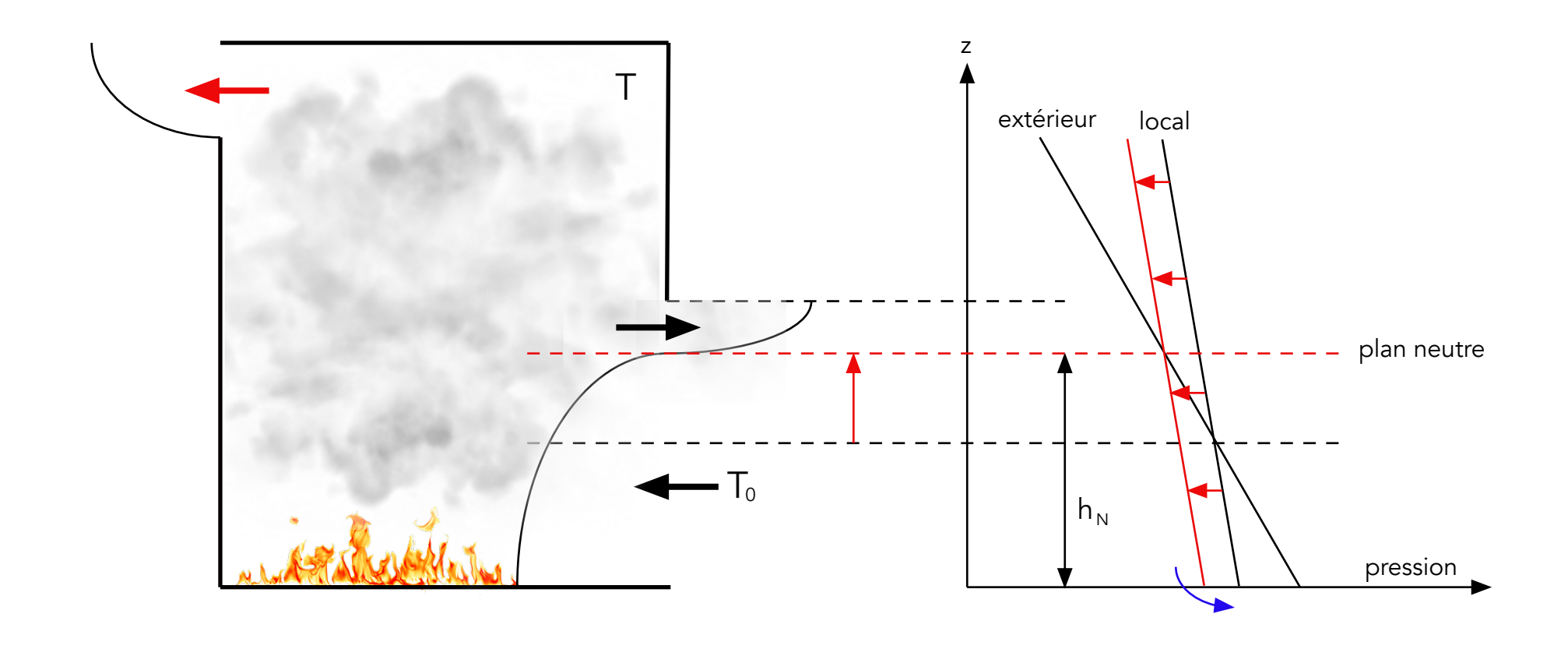






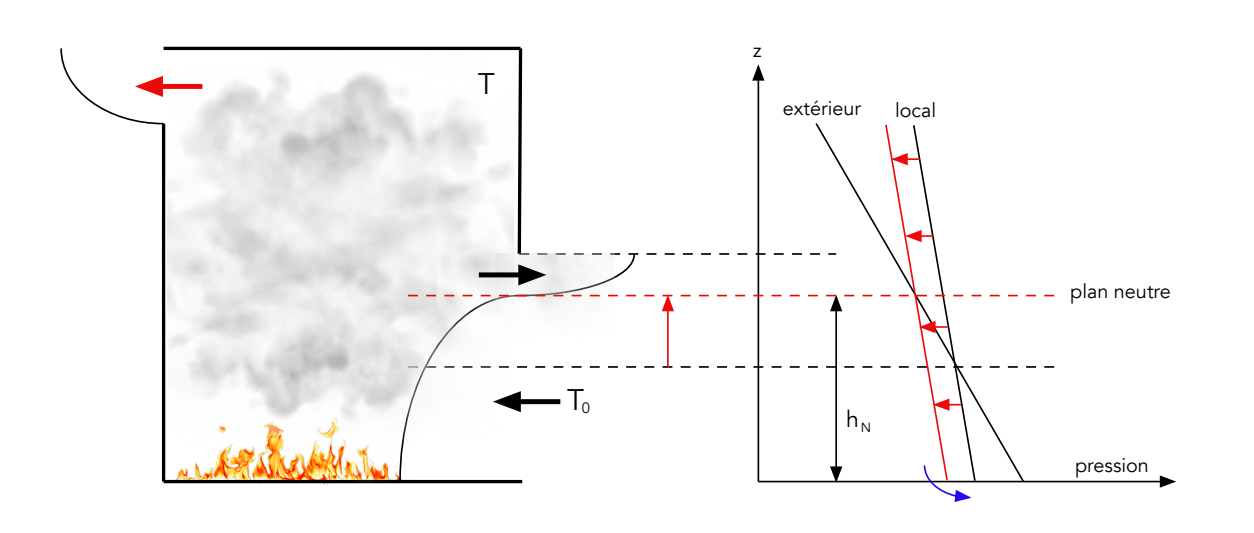












H<sub>1</sub> : Hauteur de la porte

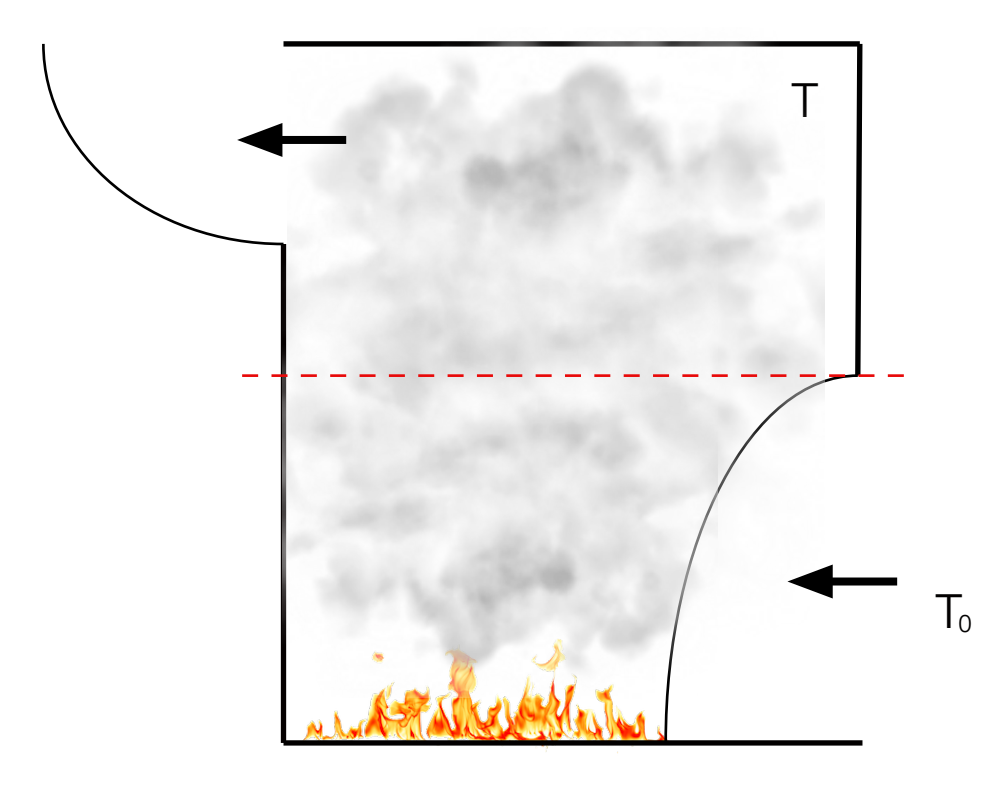
H<sub>2</sub> : Hauteur de la fenêtre H : Hauteur du local W : Largeur de la porte et de la fenêtre

$$ho_0^{1/2} \ (\Delta 
ho^{1/2} \ g^{1/2} \ W) \ \int_0^{h_N} (h_N - z)^{1/2} \ dz = \ 
ho^{1/2} \ (\Delta 
ho^{1/2} \ g^{1/2} \ W) \ \int_{h_N}^{H_1} \ (z - h_N)^{1/2} \ dz + 
ho^{1/2} \ (\Delta 
ho^{1/2} \ g^{1/2} \ W) \ \int_{H-H_2}^H \ (z - h_N)^{1/2} \ dz$$

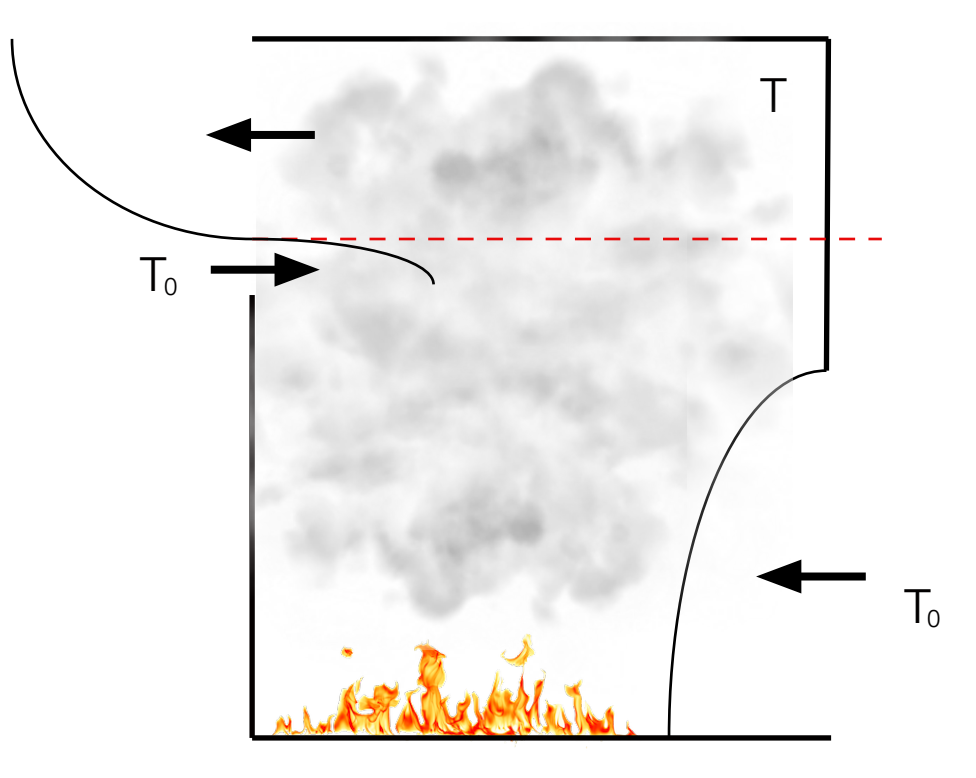
$$\Rightarrow (H_1-h_N)^{3/2}+(H-h_N)^{3/2}-(H-H_2-h_N)^{3/2}=\sqrt{rac{T}{T_0}}\ h_N^{3/2}$$







Ventilation de type « déplacement »



Ecoulement bidirectionnel sur l'ouverture haute

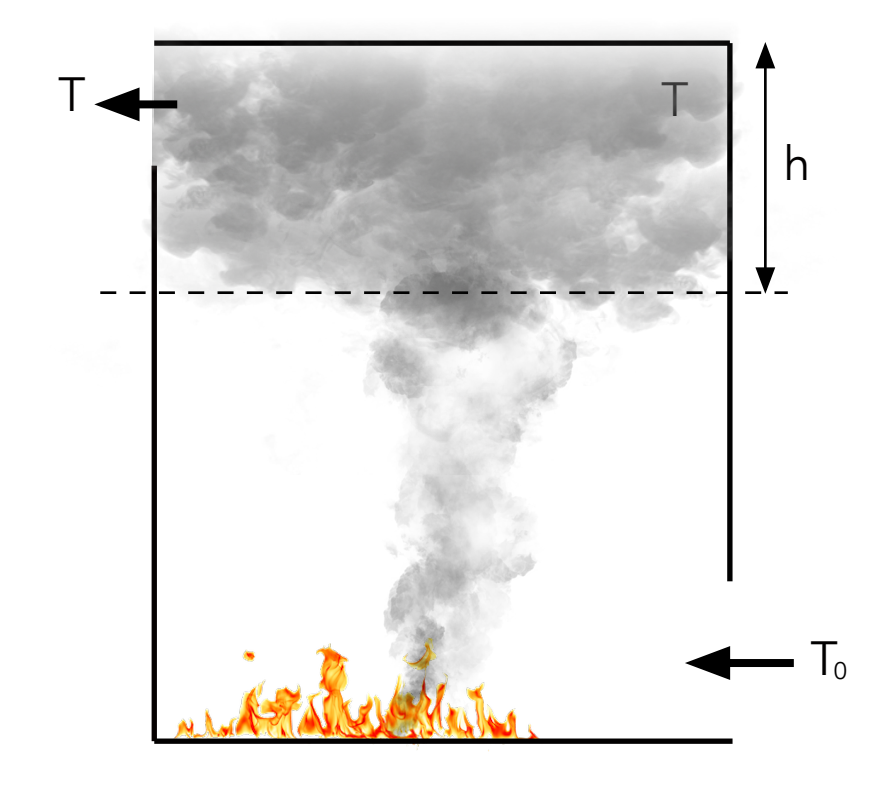


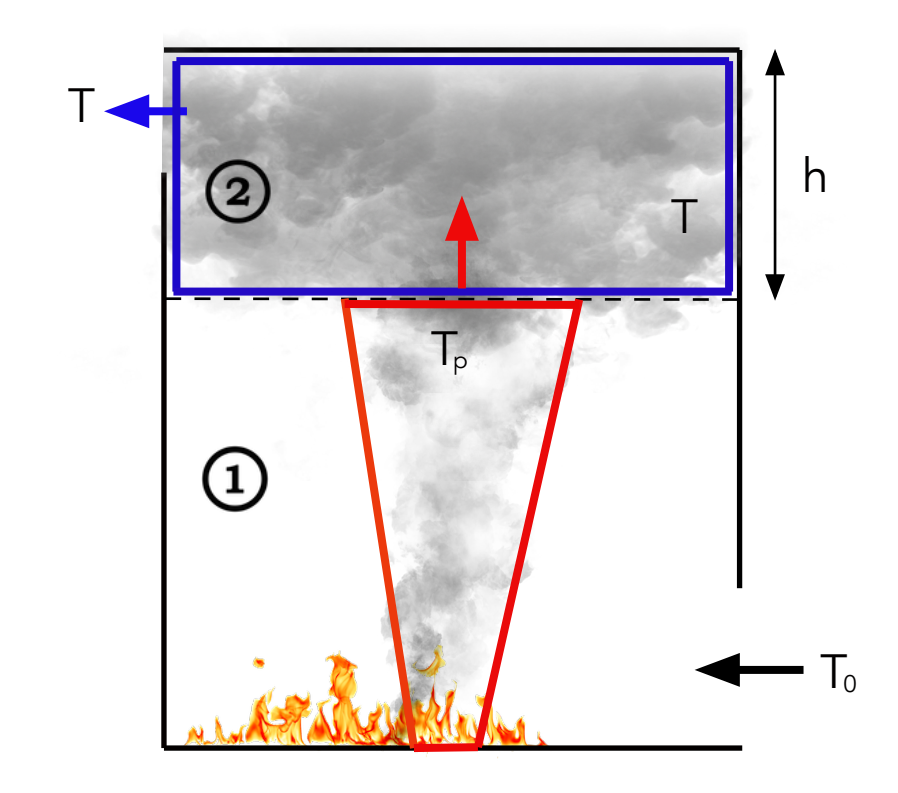


# Modèle bi-couche







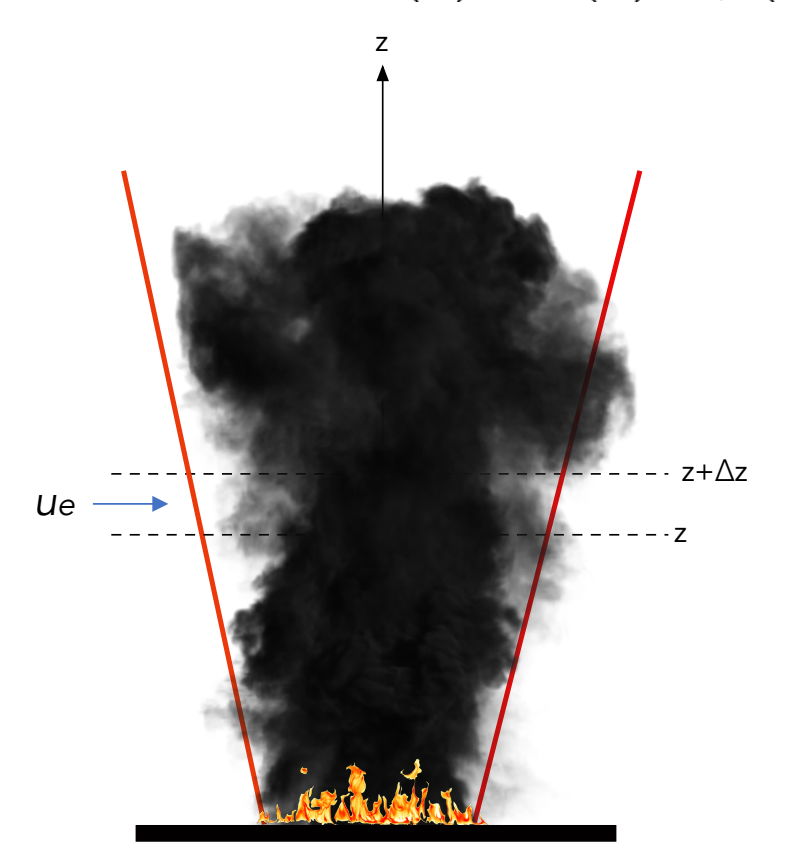






#### Modèle de panache

 $3 \text{ inconnues} : u(z) ; d(z) ; \rho(z)$ 



#### Masse

$$\Delta \left( 
ho \, u \, rac{\pi d^2}{4} 
ight) = 
ho_0 \, u_e \, \pi d \, \Delta z$$

#### Quantité de mouvement

$$\Delta \left( 
ho \, u^2 \, rac{\pi d^2}{4} 
ight) = - 
ho \, g \, rac{\pi \, d^2}{4} \, \Delta z + 
ho_0 \, g \, rac{\pi \, d^2}{4} \, \Delta z$$

#### Energie

$$\Delta \left( 
ho \, u \, rac{\pi d^2}{4} \, C_p \, \Delta T 
ight) = 0 \quad \Rightarrow \quad \Delta (u \, d^2 \, \Delta 
ho) = 0$$





#### Modèle de panache

3 inconnues : 
$$u(z)$$
;  $d(z)$ ;  $\rho(z)$ 

$$egin{aligned} rac{d}{dz}[
ho\,u\,d^2] &= 4\,
ho_0\,u_e\,d\ \ rac{d}{dz}[
ho\,u^2\,d^2] &= \Delta
ho\,g\,d^2\ \ rac{d}{dz}[\Delta
ho\,u\,d^2] &= 0 \end{aligned}$$

#### Modèle de fermeture

$$u_e(z) = lpha \, \sqrt{rac{
ho}{
ho_0}} \, u(z)$$

Théorie de Morton approx. de Boussinesq $u_e=lpha\ u\ ext{avec}\ lphapprox 0,1$ 

#### Recherche de solutions « auto-similaires »

$$u(z) = C_1 \, z^a \quad d(z) = C_2 \, z^b \quad rac{\Delta 
ho}{
ho}(z) = C_3 \, z^c$$





#### Modèle de panache

 $3 \text{ inconnues} : u(z) ; d(z) ; \rho(z)$ 

$$u(z) = A^{1/3} \, B^{1/3} \, z^{-1/3}$$

$$d(z) = rac{12lpha}{5} \, \sqrt{rac{T}{T_0}} \, z$$

$$rac{\Delta 
ho}{
ho} = rac{\Delta T}{T_0} = rac{4}{3g} \, A^{2/3} \, B^{2/3} \, z^{-5/3}$$

$${
m avec}: \, A = rac{25}{48\pi \, lpha^2} \, {
m et} \, \, B = rac{g \, \dot{Q}_c}{
ho_0 \, C_p \, T_0}$$

$$(z-z_v)$$
 avec  $z_v$  la position de la source virtuelle



Modèle de panache de Morton-Heskestad

$$u(z) pprox 7,7 \ \dot{Q}_c^{1/3} \ (z-z_v)^{-1/3}$$

$$d(z)=0,24\,\sqrt{rac{T}{T_0}}\,(z-z_v)$$

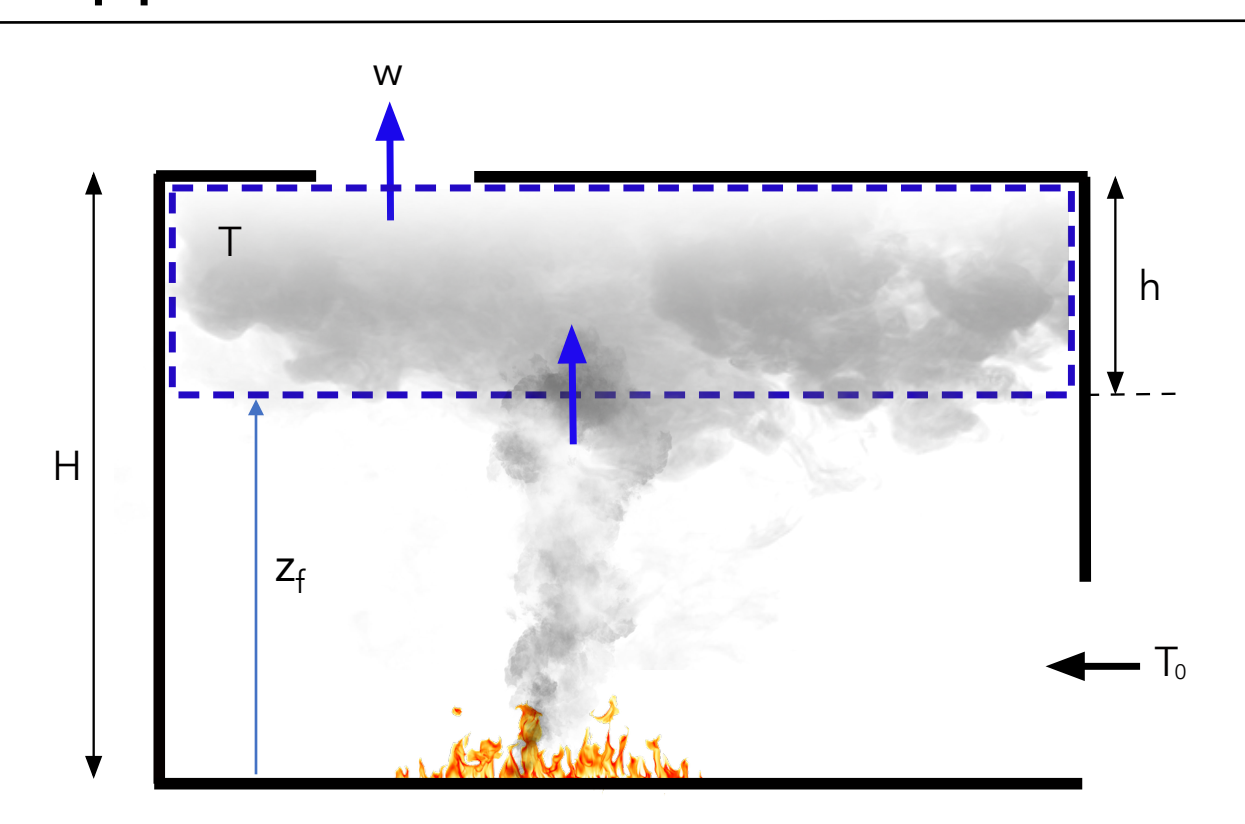
$$rac{\Delta T}{T_0}(z) pprox 8, 1 \ \dot{Q}_c^{2/3} \ (z-z_v)^{-5/3}$$

$$q_v(z) = u \, rac{\pi d^2}{4} pprox 0,35 \, rac{T}{T_0} \, \dot{Q}_c^{1/3} \, (z-z_v)^{5/3}$$

$$m(z) = 
ho \, u \, rac{\pi d^2}{4} pprox 0,42 \, \dot{Q}_c^{1/3} \, (z-z_v)^{5/3}$$

$$\dot{Q}_c = m \: C_p \: \Delta T \longrightarrow \dot{Q}_c$$





#### <u>Hypothèses</u>

- ¬ Désenfumage naturel par une ouverture de surface A au plafond
- ¬ Régime permanent
- ¬ Grande ouverture pour l'amenée d'air
- ¬ Température T uniforme dans la couche de fumées
- ¬ Parois adiabatiques

#### Conservation de la masse

$$ho\,w\,A=m_p(z_f)$$

#### Relation de Bernoulli

$$rac{1}{2}\,
ho\left(rac{w}{C_d}
ight)^2 = \Delta
ho\,g\,h$$





#### Conservation de la masse

$$ho \, w \, A = m_p(z_f)$$

$$\Rightarrow 
ho_0 \ w \ A = m_p(z_f) \left(1 + rac{\Delta T}{T_0}
ight)$$

#### Relation de Bernoulli

$$rac{1}{2} 
ho \left(rac{w}{C_d}
ight)^2 = \Delta 
ho \, g \, h \;\; \Rightarrow \; w^2 = \left(\!rac{\Delta T}{T_0}\!\!
ight)\!\! g \left(H - z_f
ight)$$

Relations d'Heskestad

$$m_p(z_f) = 0,42\,\dot{Q}_c^{1/3}\,z_f^{5/3}$$

$$egin{align} m_p(z_f) &= 0,42\, \dot{Q}_c^{1/3}\, z_f^{5/3} \ rac{\Delta T}{T_0} &= 8,1\, \dot{Q}_c^{2/3}\, z_f^{-5/3} \ \end{aligned}$$





après quelques manipulations algébriques, on obtient :

$$A=0,039 \ rac{z_f^{5/6} \ (z_f^{5/3}+8,1 \ \dot{Q}_c^{2/3})}{\sqrt{H-z_f}}$$

~ formule du « petit » feu IT 246 (désenfumage des ERP)

Inversement, si la surface A de l'exutoire est fixée :

$$z_f^{5/6} \, (z_f^{5/3} + 8, 1 \, \dot{Q}_c^{2/3}) = 25, 6 \, A \, \sqrt{H - z_f} \quad \Longrightarrow \, z_f$$

$$rac{\Delta T}{T_0} = 8,1 \ \dot{Q}_c^{2/3} \ z_f^{-5/3} \qquad w^2 = rac{\Delta T}{T_0} \ g \left( H - z_f 
ight) \qquad \left( q_{ext} = A \ w 
ight)$$

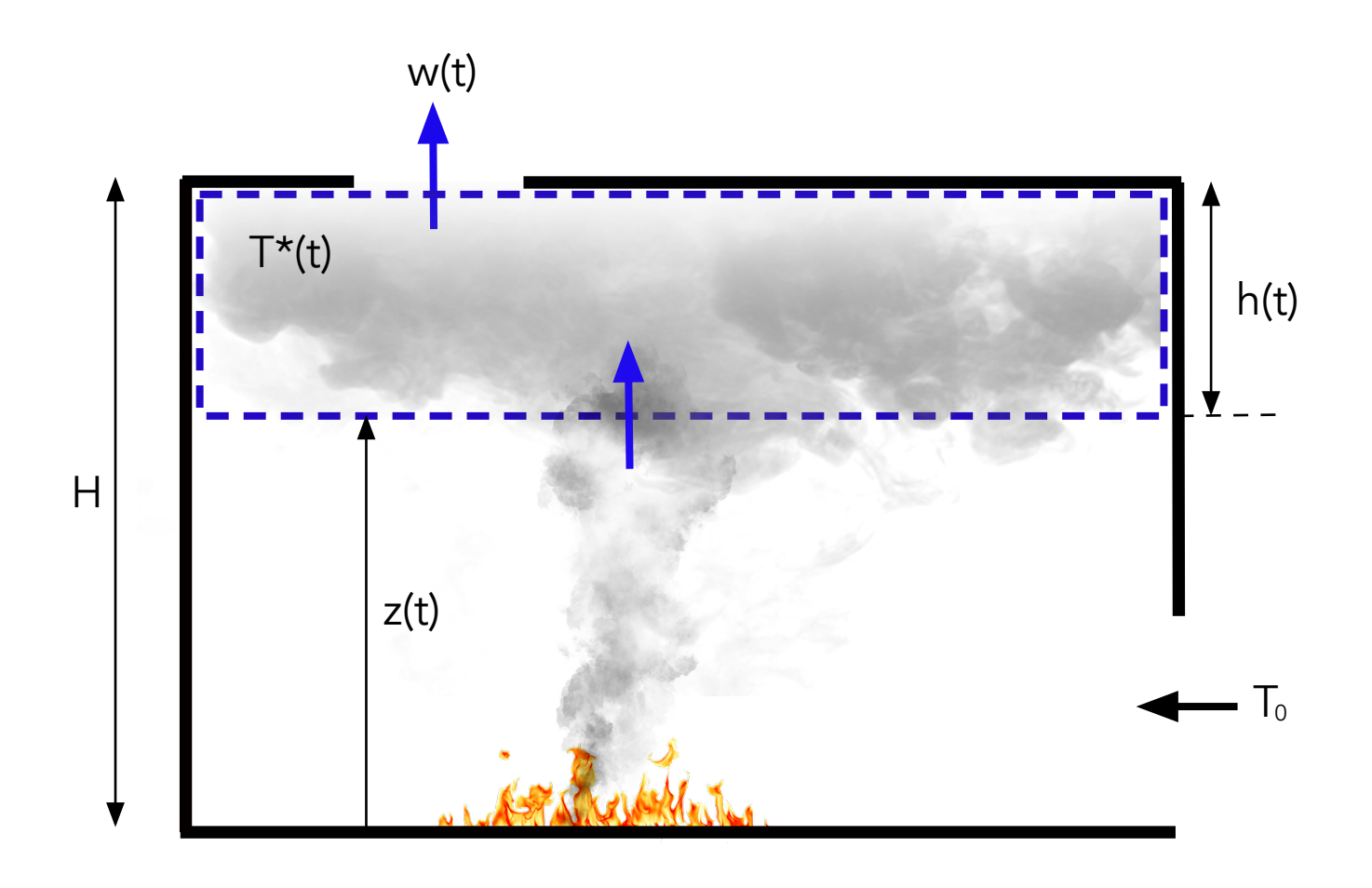




Modèle bi-couche en régime transitoire

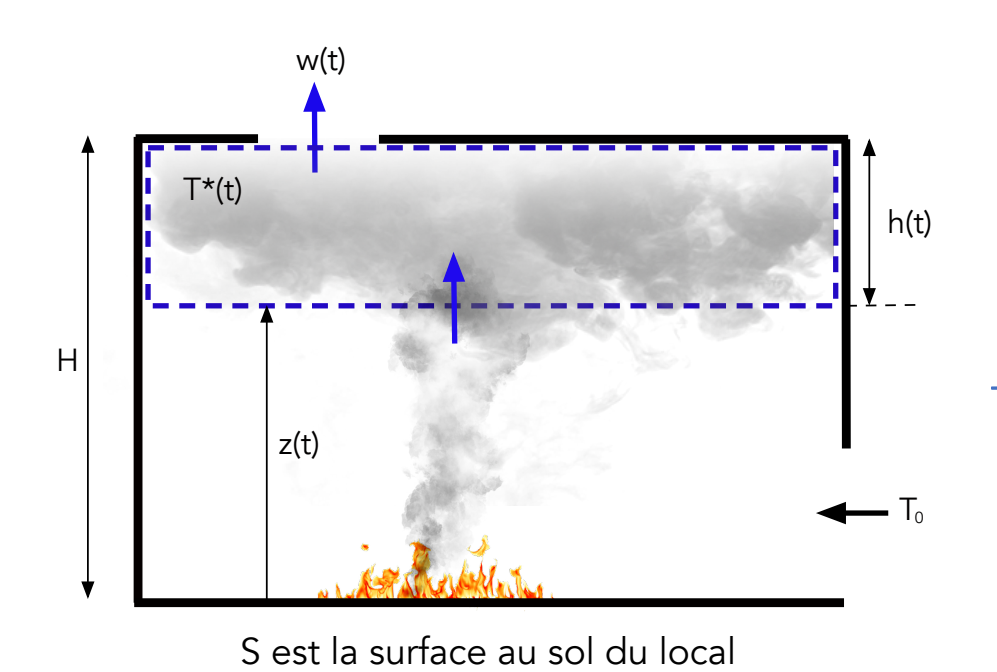










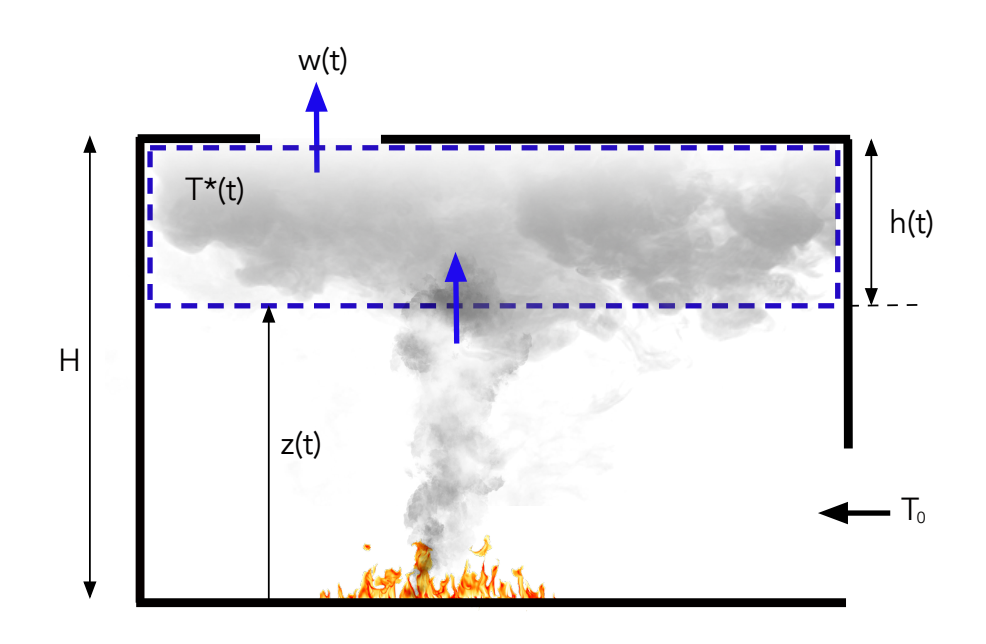


$$egin{align} egin{align} rac{d}{dt}[
ho^*\,h\,S] &= m(z) - 
ho^*\,w\,A \ & 
ho^*\,w^2 &= \Delta
ho^*\,g\,(H-z) \ & rac{d}{dt}[
ho^*\,h\,S\,C_p\,\Delta T^*] &= \dot{Q}_c - 
ho^*\,w\,A\,C_p\,\Delta T^* \ \end{pmatrix}$$

Adimensionnement des variables:

$$\zeta = rac{z}{H} \qquad \eta = rac{\Delta 
ho}{
ho} \qquad \omega = rac{w}{\sqrt{g\,H}}$$





$$heta=a~rac{\dot{Q}_c^{2/3}}{H^{5/3}}$$

a et  $\kappa$  sont des constantes pures

au est le temps dimensionnel

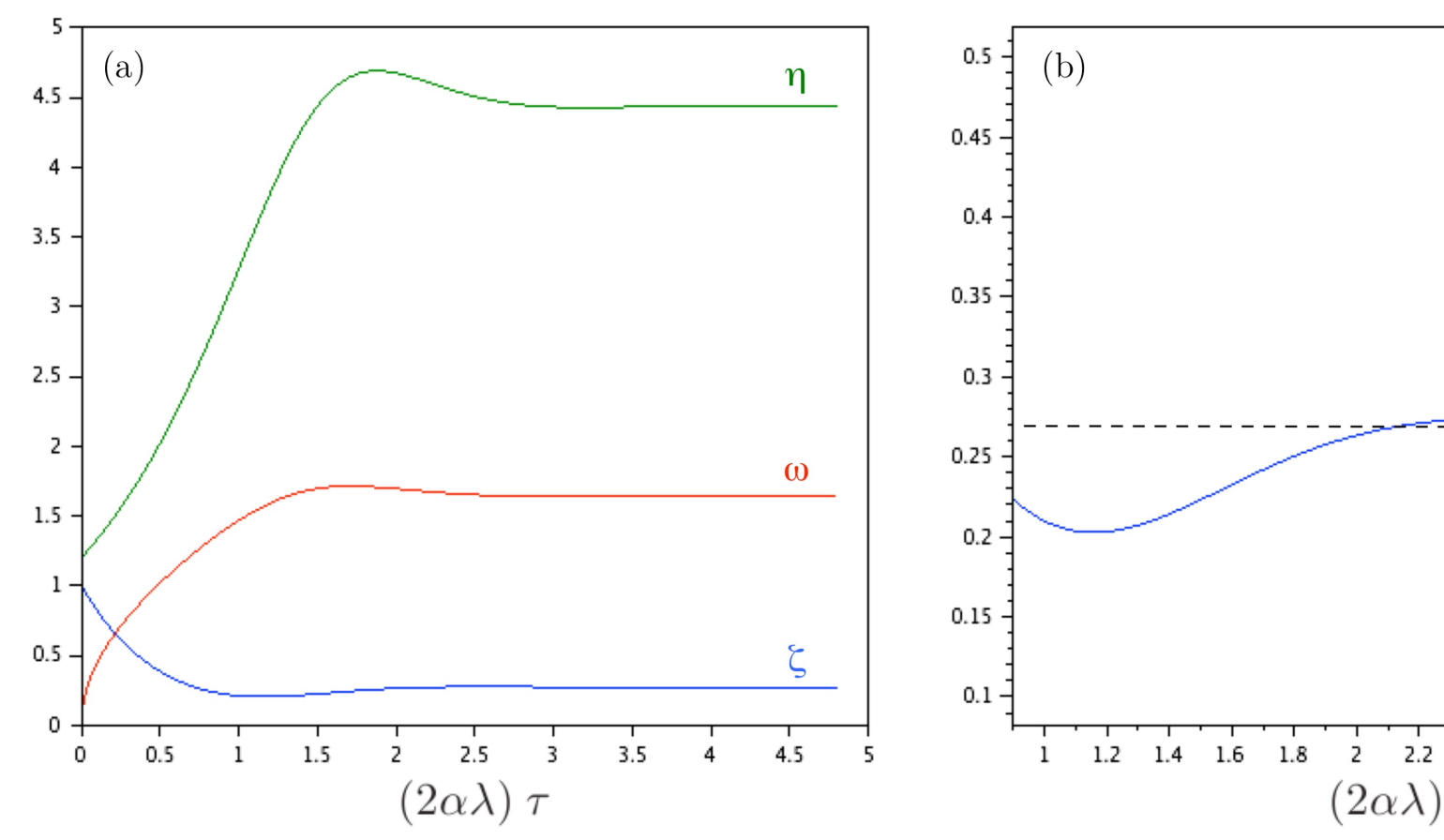
Adimensionnement des variables :

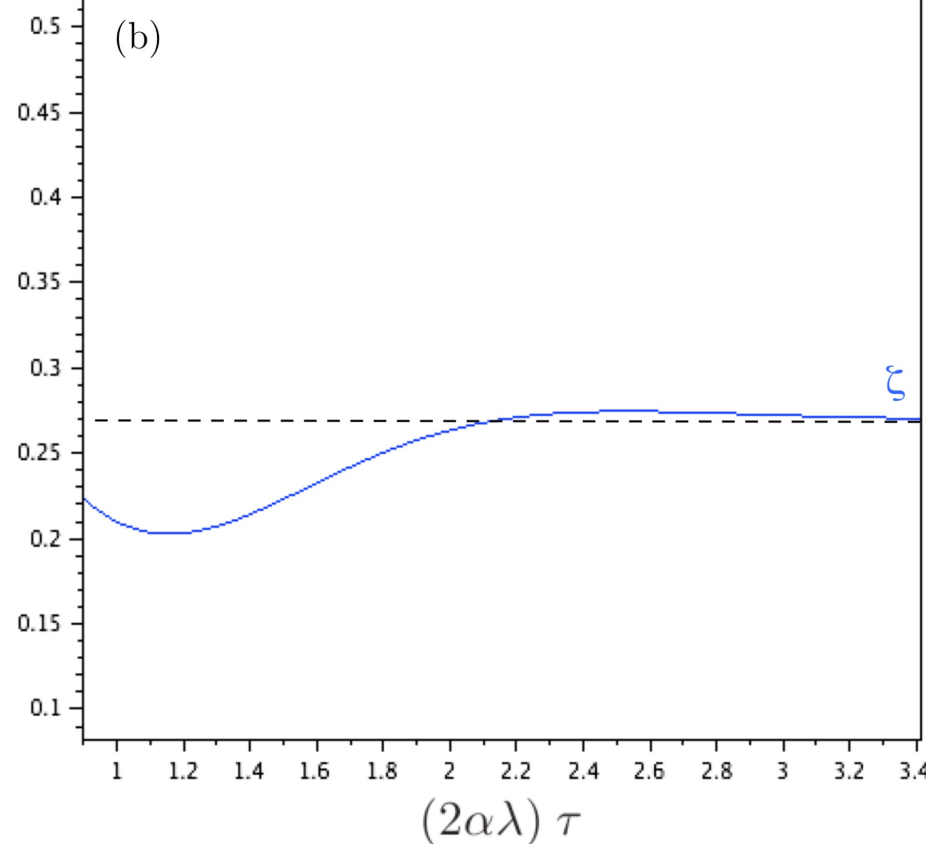
$$\zeta = rac{z}{H} \qquad \eta = rac{\Delta 
ho}{
ho} \qquad \omega = rac{w}{\sqrt{g\,H}}$$

$$egin{aligned} rac{d\zeta}{d au} &= \Lambda \, \omega - \kappa \, heta^{1/2} \, (\zeta^{5/3} + heta) \ &\omega &= \sqrt{\eta \, (1-\zeta)} \ &rac{d\eta}{d au} &= rac{1+\eta}{1-\zeta} \, \kappa \, heta^{1/2} \, ( heta - \eta \, \zeta^{5/3}) \end{aligned}$$



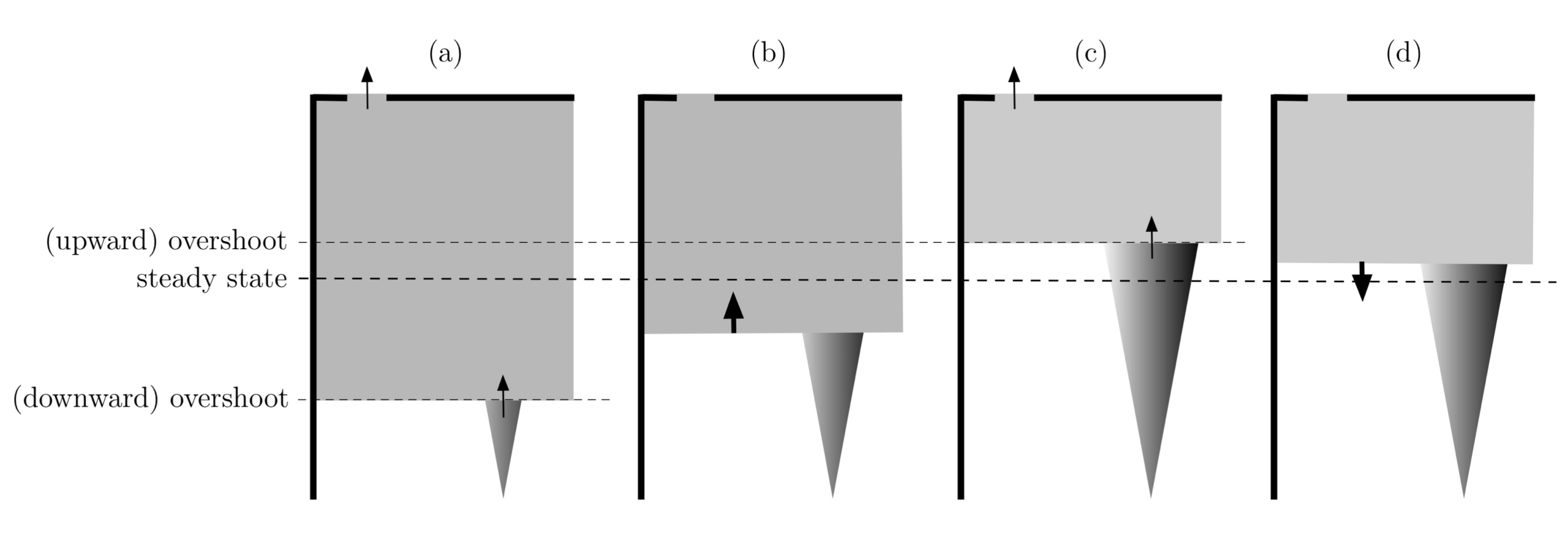












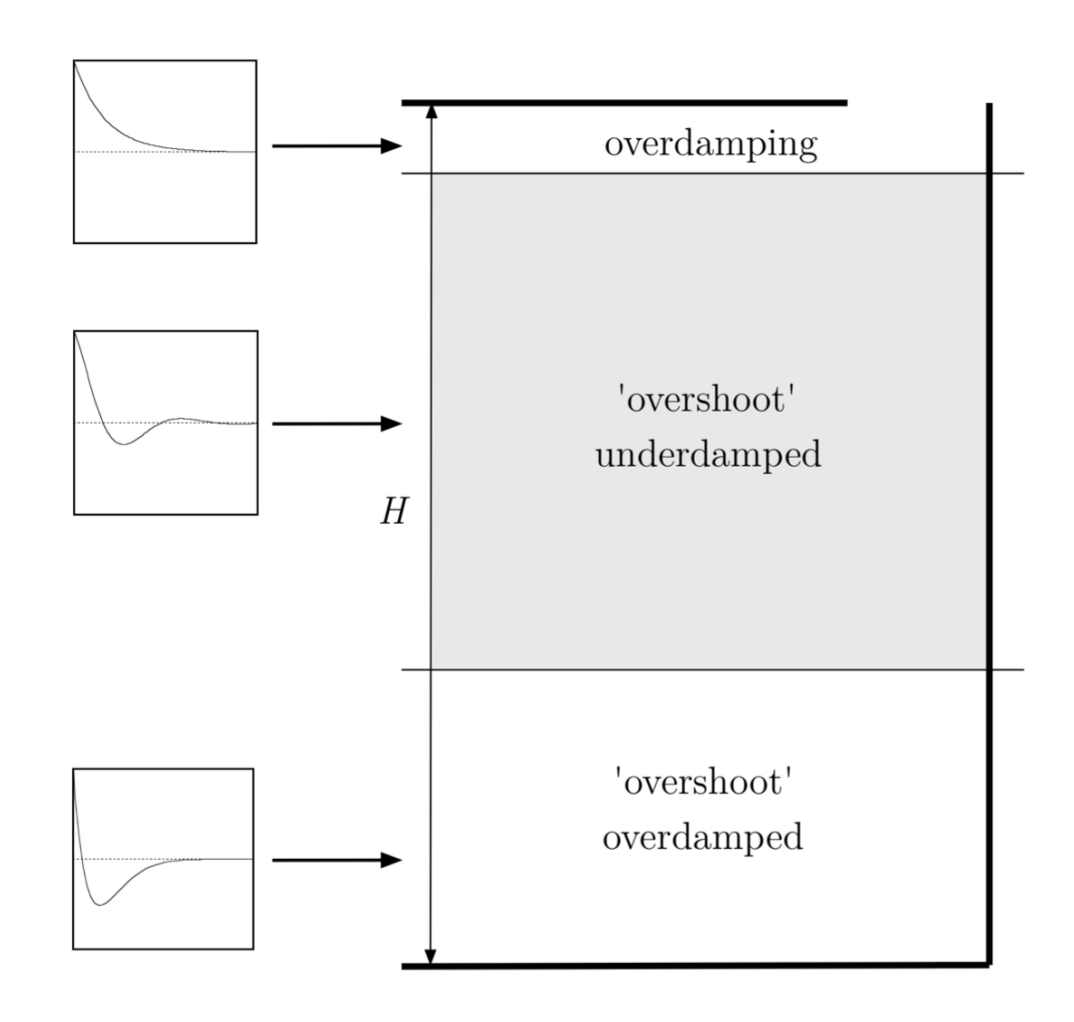




$$\zeta = \zeta_{ss} + \zeta'$$
  $\eta = \eta_{ss} + \eta'$   $\omega = \omega_{ss} + \omega'$ 

$$\frac{d^2}{d\tau^2} \begin{pmatrix} \zeta' \\ \eta' \\ \omega' \end{pmatrix} + A_1 \frac{d}{d\tau} \begin{pmatrix} \zeta' \\ \eta' \\ \omega' \end{pmatrix} + A_2 \begin{pmatrix} \zeta' \\ \eta' \\ \omega' \end{pmatrix} = 0$$

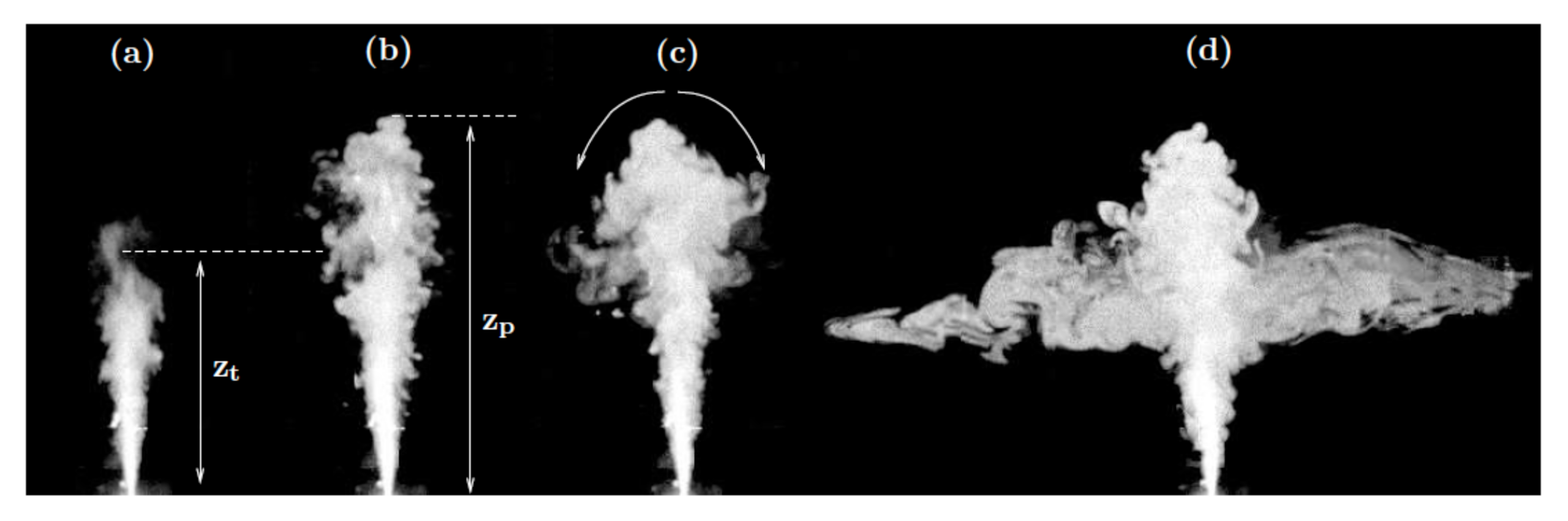
- $A_1$  et  $A_2$  sont des fonctions de  $\Lambda$ ,  $\Theta$  et  $\zeta_{ss}$
- Le régime oscillant sous-amorti est obtenu si  $A_1^2 < 4 A_2$







#### Panaches en atmosphère stratifiée

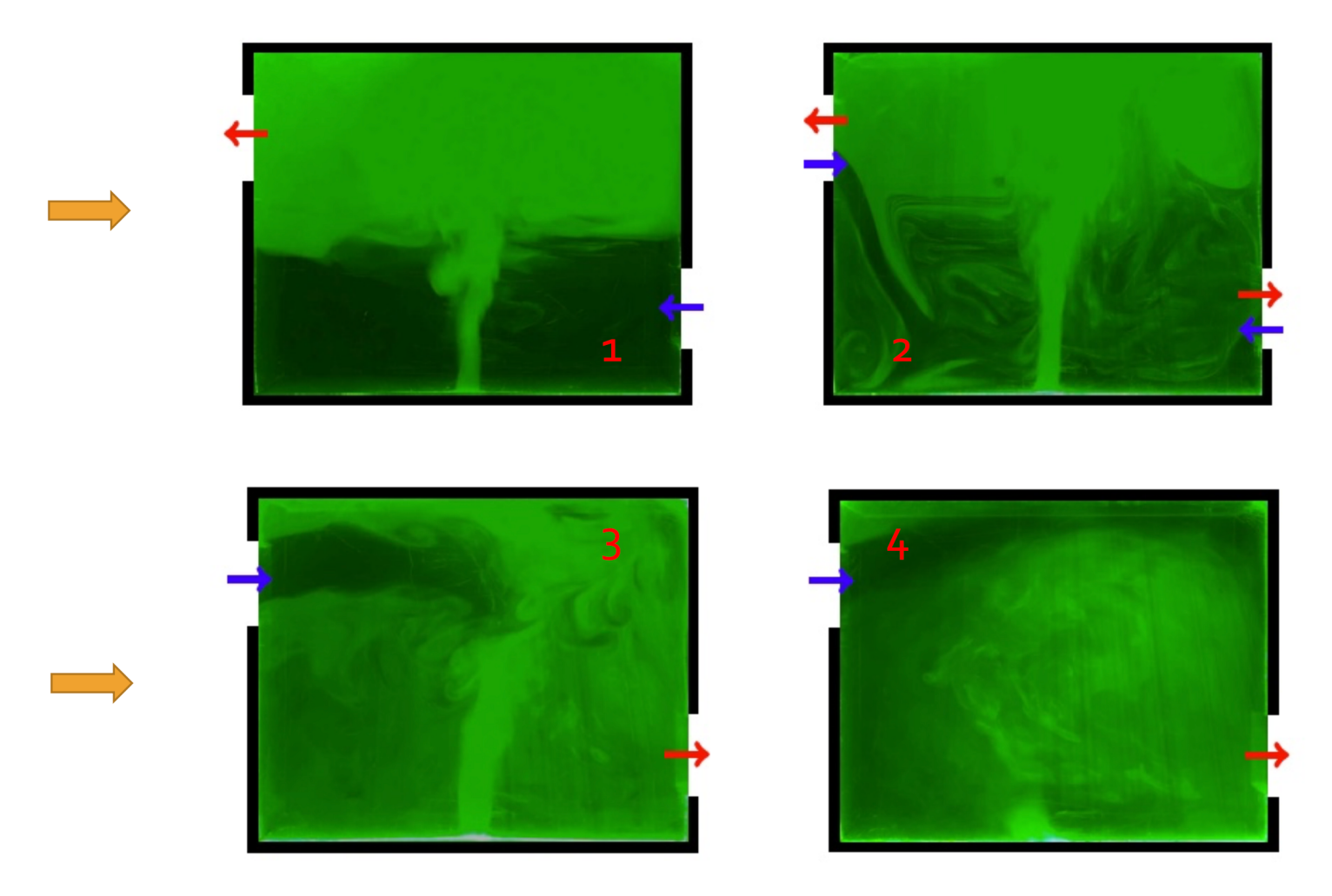


Expérience réalisée à l'IUSTI (Marseille) dans une enceinte stratifiée en densité (air-hélium)





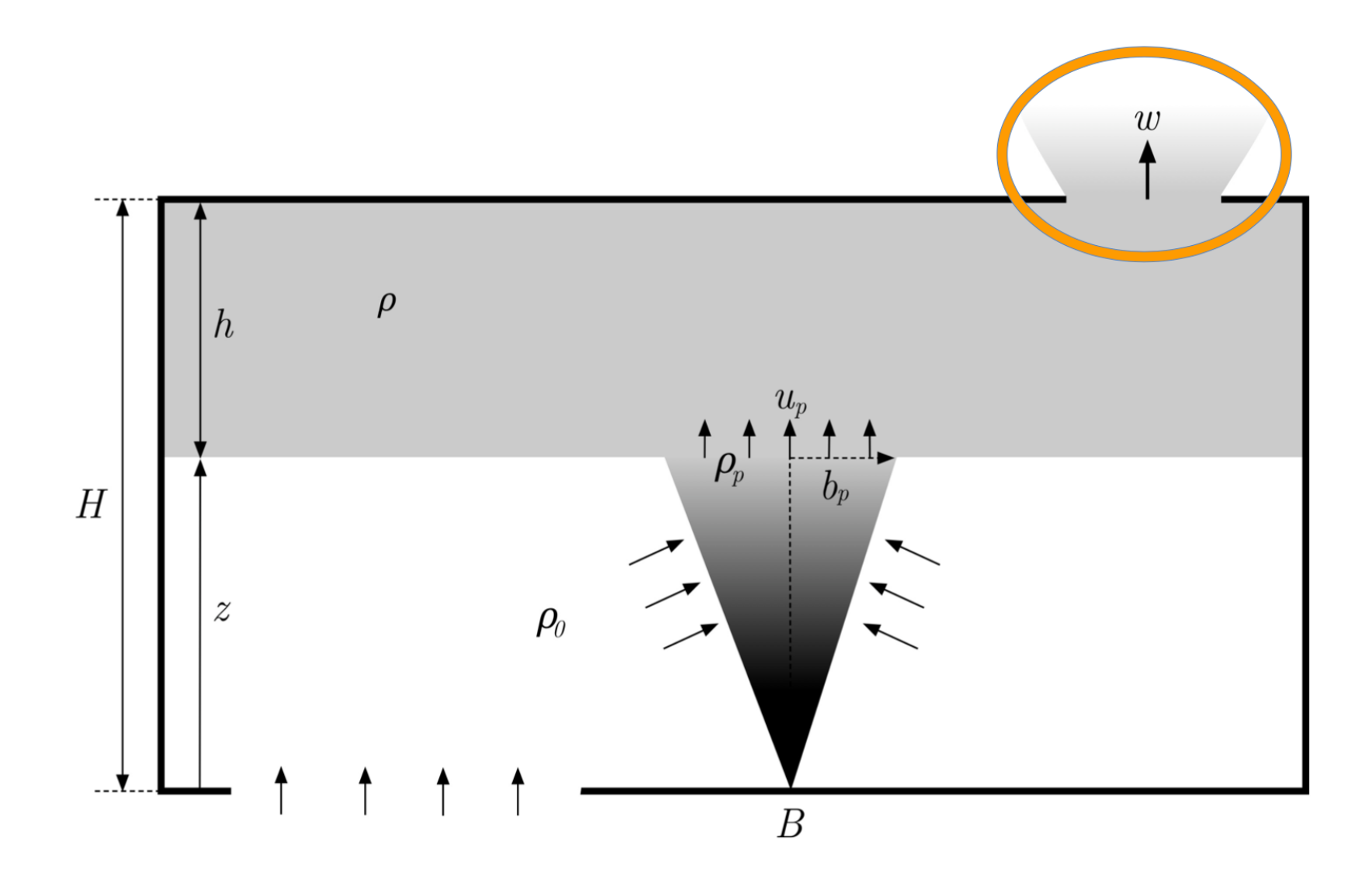
#### Effet du vent



Expérience réalisée à l'IUSTI (Marseille) dans une soufflerie avec une source « air-hélium »

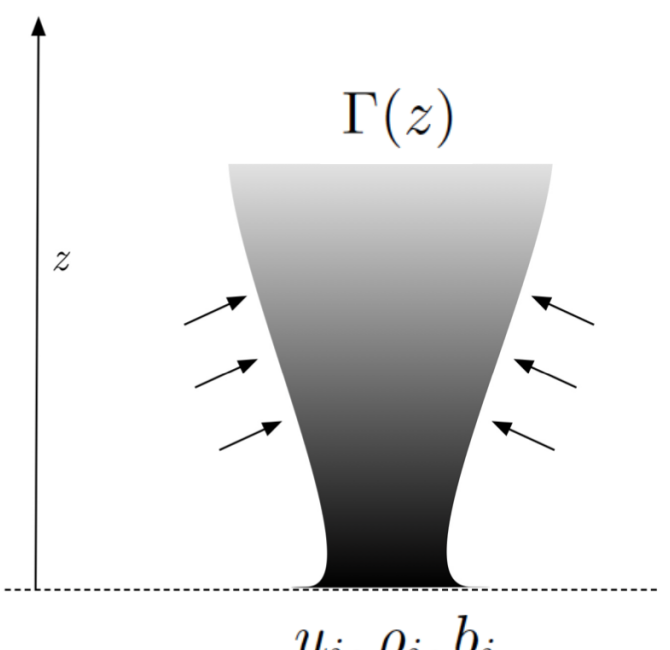












$$u_i, \rho_i, b_i$$

$$u_i, \rho_i, b_i$$

$$\Gamma_i = \frac{5}{8\alpha} \frac{\Delta \rho_i g b_i}{\sqrt{\rho_i \rho_0} u_i^2}$$

 $\Gamma_i > 1$ : panache paresseux

 $\Gamma_i = 1$ : panache pur

 $\Gamma_i < 1$ : panache forcé





$$\Gamma_{\text{exu}} = \frac{5}{8\alpha} \frac{\Delta \rho_{ss} g \sqrt{\Sigma}}{\sqrt{\rho_{ss} \rho_0} \,\omega_{ss}^2} \qquad \qquad \eta_{ss} = \frac{\Theta}{\zeta_{ss}^{5/3}}$$

$$\frac{\zeta_{ss}^{5/3}(\zeta_{ss}^{5/3} + \Theta)^2}{1 - \zeta_{ss}} = \frac{\Lambda^2}{\kappa^2}$$

$$\eta_{ss} = \frac{\Theta}{\zeta_{ss}^{5/3}}$$

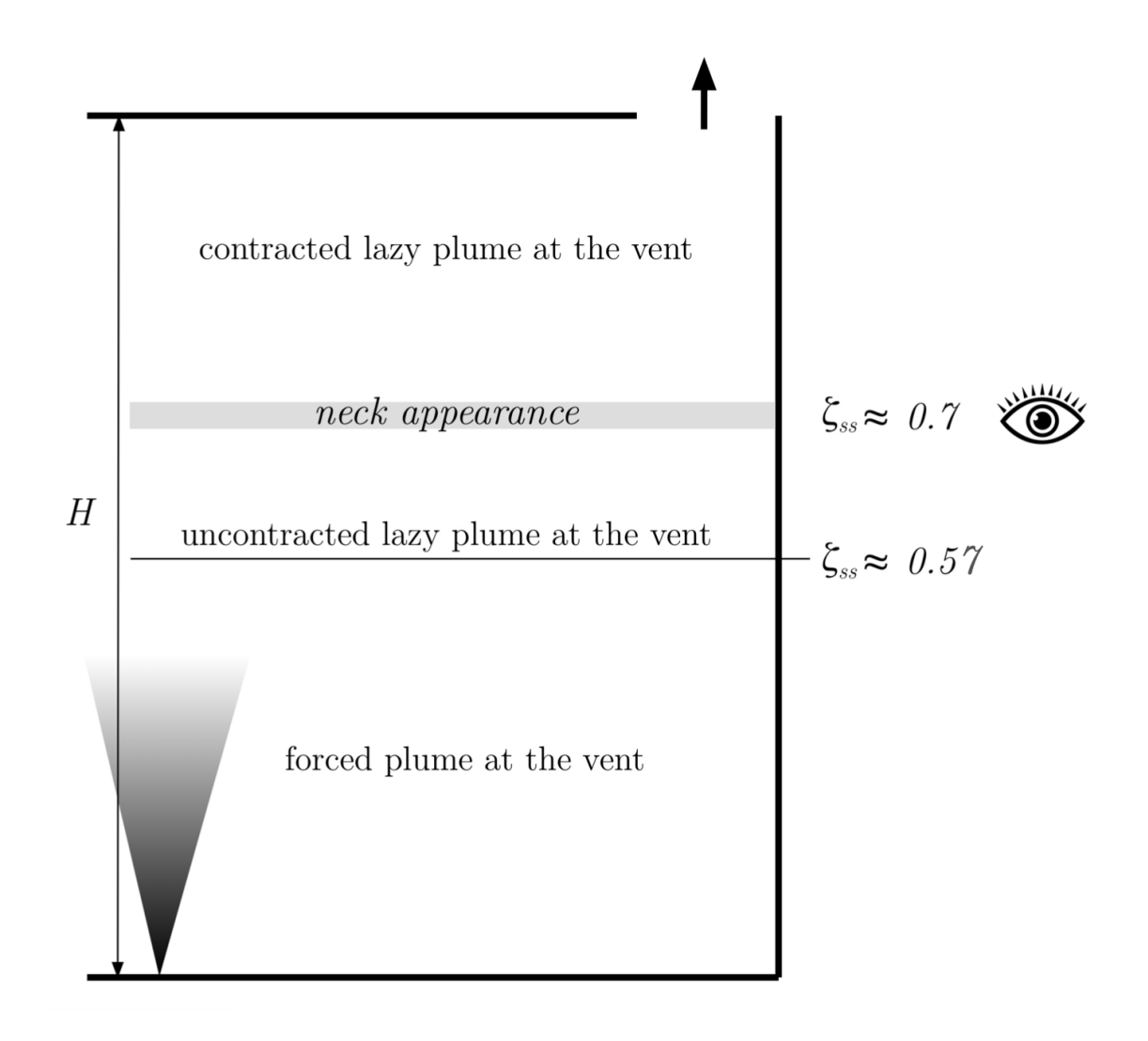
$$\omega_{ss} = \frac{\kappa \Theta^{1/2}}{\Lambda}(\zeta_{ss}^{5/3} + \Theta)$$

$$\Gamma_{\text{exu}} = \left(\frac{3}{4}\right)^{5/4} \left(\frac{\zeta_{ss}}{1 - \zeta_{ss}}\right)^{5/4}$$

$$\Rightarrow \zeta_{ss} = \frac{1}{1 + \frac{3}{4\Gamma_{\text{exu}}^{4/5}}}$$







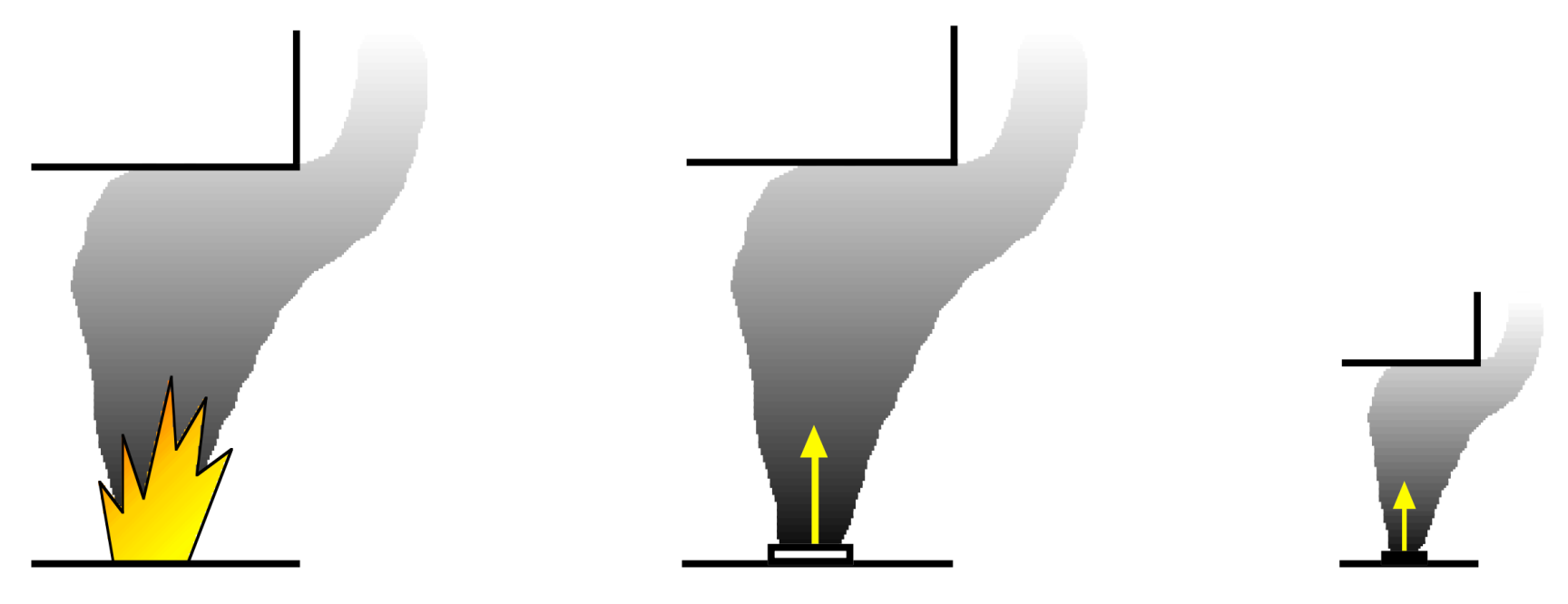








Simuler un panache d'incendie à échelle réduite (sans flamme, sans combustion et sans écart de température)









On souhaite représenter une feu de surface  $S=1~\mathrm{m}^2$  et de puissance  $\dot{Q}_c=1~\mathrm{MW}$ 



 $ext{Plaque chauffante}: \dot{Q}_c = h \, S \, \Delta T$ 

$$h\sim 10^1-10^2 \quad \Rightarrow \quad T\sim 10^4-10^5$$



Souffleur d'air chaud à 100°C

$$\dot{Q}_c = 
ho \, q_v \, C_p \, (T-T_0) \quad \Rightarrow \quad u_i \sim 12 \, \mathrm{m/s}$$



Injection d'hélium (masse volumique de  $0, 188 \text{ kg/m}^3$ )

$$T_{\acute{e}q}\sim 1900~{
m K}$$

$$\dot{Q}_c = 
ho_{h\acute{e}l} \, q_{h\acute{e}l} \, C_p \, [T_{\acute{e}q} - T_0] \quad \Rightarrow \quad q_{h\acute{e}l} pprox 3, 3 \, \dot{Q}_c \, (\mathrm{MW})$$





Pour établir les <u>conditions de similitudes</u>, partons des équations de conservation du panache turbulent (masse, quantité de mouvement et flottabilité)

$$\frac{d}{dz} \left[ \left( \frac{\rho}{\rho_0} \right)^j u d^2 \right] = 4u_e d$$

$$\frac{d}{dz} \left[ \left( \frac{\rho}{\rho_0} \right)^j u^2 d^2 \right] = \frac{\Delta \rho}{\rho_0} g d^2$$

$$\frac{d}{dz} \left( \Delta \rho u \, d^2 \right) = 0$$

écrites sous forme généralisée : l'exposant j = o si on applique l'approximation de Boussinesq et on a j = 1 dans le cas général non-Boussinesq.





$$\frac{d}{dz} \left[ \left( \frac{\rho}{\rho_0} \right)^j u^2 d^2 \right] = \frac{\Delta \rho}{\rho_0} g d^2$$

$$- \frac{d}{dz} \left[ \left( \frac{\rho_0}{\rho_0} \right)^j u^2 d^2 \right] = \frac{d}{dz} \left( u^2 d^2 \right)$$

$$\Rightarrow \frac{d}{dz} \left[ u^2 d^2 \left( 1 - j \frac{\Delta \rho}{\rho_0} \right) \right] = \frac{\Delta \rho}{\rho_0} g d^2$$

On introduit les variables sans dimensions :

$$\tilde{z} = \frac{z}{d_i} \bullet \tilde{d} = \frac{d}{d_i} \bullet \tilde{u} = \frac{u}{u_i} \bullet \Delta \tilde{\rho} = \frac{\Delta \rho}{\Delta \rho_i}$$





$$\Rightarrow \frac{d}{d\tilde{z}} \left[ \tilde{u}^{2} \tilde{d}^{2} \left( 1 - j \frac{\Delta \rho_{i}}{\rho_{0}} \Delta \tilde{\rho} \right) \right] = \frac{\Delta \rho_{i} g d_{i}}{\rho_{0} u_{i}^{2}} \Delta \tilde{\rho} \tilde{d}^{2}$$

#### En Boussinesq, le seul nombre à conserver est :

$$\frac{\Delta \rho_i g d_i}{\rho_0 u_i^2}$$

#### Dans le cas général non-Boussinesq, on doit conserver :

$$\frac{\Delta \rho_i}{\rho_0}$$
 et  $\frac{gd_i}{u_i^2}$ 





Grandeur réelle	Grandeur maquette
Longueur $L_r$	$L_m = a L_r$
Vitesse $U_r$	$U_m = a^{1/2} U_r$
Temps $t_r$	$t_m = a^{1/2} t_r$
Masse volumique $ ho_r$	$\rho_m = a^0 \rho_r$ (conservé)
Température $T_r$	$T_m = a^0 T_r \text{ (conservé)}$
Débit volumique $q_r$	$q_m = a^{5/2} q_r$
Débit massique $Q_r$	$Q_m = a^{5/2} Q_r$
Puissance convective $HRR_r$	$HRR_m = a^{5/2} HRR_r$
Débit de flottabilité $B_r$	$B_m = a^{5/2} B_r$





# Aéraulique des fumées d'incendie

Olivier Vauquelin (IUSTI, Aix-Marseille Université)







